



Actualités en Maladies Infectieuses (2011-12)

Pierre Tattevin, Maladies Infectieuses et Réanimation Médicale, CHU Rennes



GROUPE D'ÉPIDÉMIOLOGIE ET RECHERCHE EN INFECTIOLOGIE CLINIQUE CENTRE OUEST

Méthodes

Aucune, ou presque...

- Critères d'inclusion
 - Publications 2011 ou 2012
 - Présentations congrès depuis les JNI 2011 (ICAAC & ECCMID)
- Critères d'exclusion
 - VIH
 - Hépatites virales
 - Maladies tropicales
 - Mycologie
 - Carbapénémases
 (déjà traités dans la cuvée GERICCO 2012)

Au menu

• Les 'nouvelles' molécules

- Avibactam (NXL-104)
- Ceftaroline (Teflaro©)
- Fidaxomicine (Dificlir©)
- Acide fusidique

• Retour sur les grandes épidémies 2010-2011

- Choléra, Haïti
- Escherichia coli 0104:H4, Allemagne

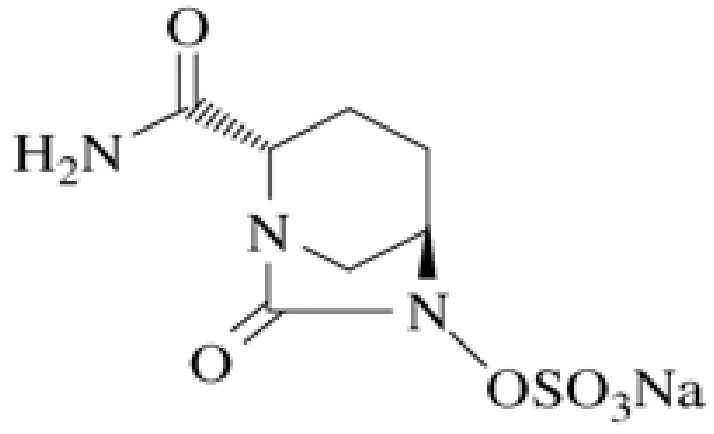
Divers

- Effets objectifs de la campagne antibiotique 2002
- Traitement des infections sur matériel d'ostéosynthèse du rachis
- Impact des CMI de vancomycine > 1,5 mg/L chez *Staphylococcus aureus*
- etc...

Nouvelles molécules

avibactam (NXL-104): Inhibiteur de β-lactamase 'à large spectre'

- 1^{er} inhibiteur de β -lactamase sans noyau β -lactam
- Inhibe β-lactamases classe C de Ambler et KPC (classe A)
- Comparé à acide clavulanique, tazobactam et sulbactam 1
 - Activité idem sur CTX-M-15 et SHV-4
 - Meilleur sur TEM-1, KPC-2, P99 et AmpC (CI50 + basses, stabilité)



Stachyra T, Antimicrobials Agents Chemother 2010

CMI $_{50/90}$ (µg/ml) de β -lactamines à large spectre +/-avibactam (NXL-104)

	E. coli BLSE (n=204)	<i>E. coli</i> AmpC (n=146)	<i>K. pneumoniae</i> BLSE (n=39)
Cefepime	8/32	0.25/0.5	8/64
Cefepime-NXL104	0.03/0.06	0.03/0.06	0.03/0.12
Ceftazidime	16/64	16/64	64/>64
Ceftazidime-NXL104	0.12/0.25	0.12/0.5	0.5/1
Ceftriaxone	64/>64	8/32	>64/>64
Ceftriaxone-NXL104	0.03/0.06	0.06/0.12	0.06/0.25
Meropenem	0.03/0.06	0.03/0.06	0.06/0.06
Meropenem-NXL104	0.008/0.015	0.008/0.015	0.015/0.03

Tailor F, abs F1-148

avibactam (NXL-104) + ceftazidime vs imipenem pour le traitement des IU compliquées

- Etude internationale randomisée 'investigator-blind' (n=135)
- CAZ104 (CAZ 500 mg/NXL104 125 mg) IV q8h vs. IMP 500 mg IV q6h
- Efficacité comparable
 - **70.4% (CAZ104) vs. 71.4% (IMP)** patients microbiologiquement évaluables
 - 6/7 (85.7%, CAZ104) vs. 9/11 (81.8%, IMP) bactéries CAZ-resistantes
- Tolérance
 - EI 35% (CAZ104) vs. 48% (IMP)
 - Céphalées, troubles digestifs

Ceftaroline (teflaro©) : Ce qu'on savait avant l'ICAAC

Caractéristiques

- **B-lactamine active sur les** *S. aureus* **résistant à la méticilline** (SARM)
- **CMI90 SARM 1 mg/L;** PSDP < CMI ceftriaxone; spectre BG- idem bonne C3G
- **Efficacité spectaculaire** chez les lapins (EI, os, pneumopathie)

• Etudes cliniques 2010

- Non-infériorité vs vancomycine + aztréonam pour infections compliquées 'peau et structures cutanées' ¹
- Non-infériorité vs ceftriaxone pour pneumopathies communautaires SARM exclus²
- Tolérance 600 mg x 2/j iv idem ceftriaxone 1 g/j (n= 614 patients/bras)
- Approbation express FDA (automne 2010) => commercialisé US 01/2011
- En attente autorisation EMA (Teflaro©)

¹Corey RG, Clin Infect Dis 2010

² File TM, Clin Infect Dis 2010

Ceftaroline: Actualités ICAAC 2011

Pharmacocinétique

Pas d'interaction significative avec le cytochrome P450 (abs A2-548)

Pharmacodynamie

- Meilleur prédicteur efficacité = % T > CMI (abs A2-549, 551 et 552)
- Association avec avibactam 'robuste' sur entérobactéries BLSE, KPC ou AmpC (sélection mutants R, abs E-138)

Impact sur la flore

- Etude 12 volontaires sains, ceftaroline 600 mg x 2/j x 7 j (abs. K-1415)
 - Ceftaroline indétectable dans les selles (12/12)
 - Pas d'émergence bactéries MDR ou Clostridium difficile

Indications

Quelques succès (n<10) dans endocardites à SARM
 (S. Cosgrove et G. Forest, unpublished)

Ceftaroline: ECCMID 2012

- Toujours pas disponible en Europe (AMM européenne été 2012 ?)
- 0 étude clinique, mais ribambelle de posters testant des souches
- Poursuite développement co-formulation ceftaroline-avibactam

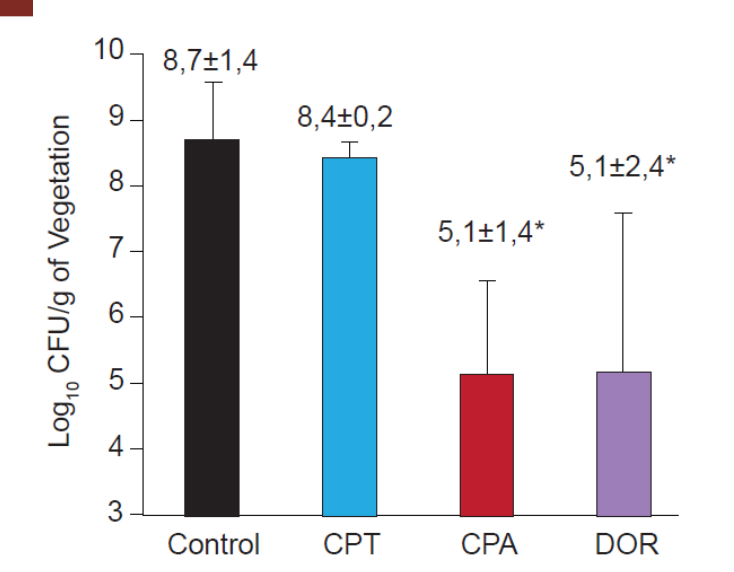
Efficacy of Ceftaroline Fosamil in Combination With the Non-β-Lactam β-Lactamase Inhibitor Avibactam Against AmpC-Producing Enterobacter cloacae: Comparative Study With

Doripenem in a Rabbit Experimental Endocarditis Model

P2065

C. Jacqueline, 1 C. Bretonniere, 1 V. Le Mabecque, 1 C. Desessard, 1 G. Amador, 1 A.F. Miegeville, 1 G. Williams, 2 G. Potel, 1 J. Caillon 1 UPRES EA 3826, Nantes, France; 2 Cerexa, Inc., Oakland, California, USA (a wholly owned subsidiary of Forest Laboratories, Inc., New York, New York, USA)

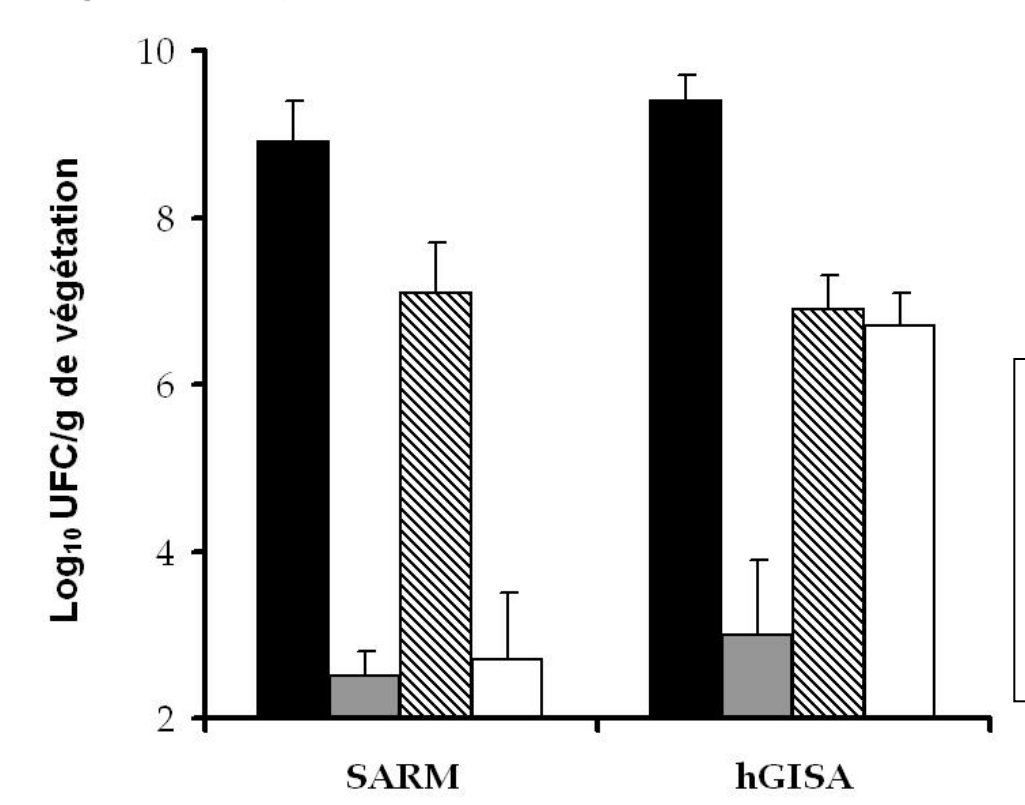
Figure 6. Bacterial Titers in Vegetations After 4 Days of Treatment



Ceftaroline, nouvelle céphalosporine active sur Staphylococcus aureus résistant à la méticilline : données expérimentales et cliniques, perspectives thérapeutiques

Ceftaroline, a cephalosporin with activity against methicillin-resistant Staphylococcus aureus: Experimental and clinical data, therapeutic applications

C. Jacqueline a,*, P. Tattevin b



nti-Infectieux eltaroline, nouvelle oigh singcoine active sar Stippfyloxocar acreus risi starit à la relitic i Infections myeabactériennes . Antimyeabactérien

Endocardite SARM lapins

témoins (noir) ceftaroline (gris) linézolide (hachuré) vancomycine (blanc)

Fidaxomicine (dificlir©): Ce qu'on savait avant l'ICAAC

Caractéristiques

- Antibiotique macrocyclique (OPT-84), 200 mg x 2/j PO
- **8 x plus actif que vancomycine** *in vitro* sur *Clostridium difficile*
- Faible absorption => concentrations fécales élevées
- Inactif sur flore intestinale usuelle => impact écologique limité
- 280 US\$ par jour => coût traitement, 2800 US\$

Etudes cliniques 2011

- Non-infériorité vs vancomycine, 125 mg x 4/j (92,1% vs 89,8%)¹
- **Moins de récurrence** $(13,3\% \text{ vs } 24\%; p=0,004)^1$
- **Plus efficace que vanco si poursuite ATB** (90% vs 79,4%; p=0,04)²

¹Louie TJ, New Engl J Med 2011 ²Mullane KM, Clin Infect Dis 2011

Fidaxomicine: Actualités ICAAC 2011

Pharmacocinétique

- Pas d'impact de l'alimentation (abs A3-042)
- Pas d'interaction significative avec digoxine, warfarine, midazolam, oméprazole, ciclosporine (abs A3-043, 044 et 045)

Mécanisme d'action

- Diminue la **sporulation** de *C. difficile* (abs C1-632 et 635)
- Diminue la production de toxines A et B (abs C1-634 et 635)

• Impact sur la flore

- **Pas d'émergence ERV ou** *K. pneumoniae* **BLSE** dans un modèle murin (contrairement à la vancomycine, abs B-1190, K-1476)

Fidaxomicine – ECCMID 2012

- Toujours pas disponible en Europe (attendu au R.U. en juin 2012)
- AMM européenne obtenue, études phase III européennes publiées (O. Cornely et al. Lancet ID 2011)
- Etudes en cours
 - pharmaco-économiques (NB: cout TT ~ 2 800 US\$)
 - Sous-populations (cancer, EHPAD, antibiothérapie poursuivie)
- Session sur les tests diagnostiques du C. difficile:
- 'plus on cherche, plus on trouve' -> cf. Guidelines ECCMID 2009

• *C. difficile* devient communautaire (13% -> 21% en Irlande)

Predictors of Treatment Failure With Fidaxomicin and Vancomycin in *Clostridium difficile*-Associated Diarrhea

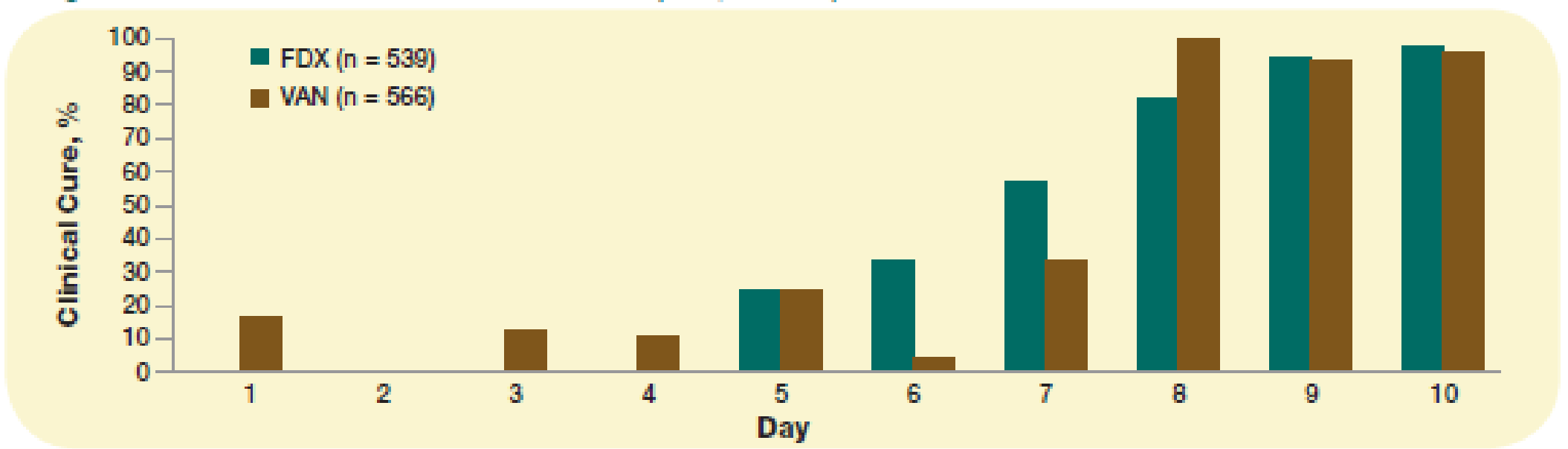
T. Louie, Y. Golan, K. Mullane, M. Miller, D. Crook, A. Lentnek, Y. Kean, S. Gorbach Crook,

Figure 1. Patient disposition. 1164 patients were enrolled and randomized in 2 phase 3 clinical trials 572 were assigned to receive FDX 592 were assigned to receive VAN 9 withdrew before treatment 8 withdrew before treatment 8 had ≤3 bowel motions in 24 h 10 had ≤3 bowel motions in 24 h 🥌 15 tested negative for C difficile 9 tested negative for C difficile 539 (94.2%) were 566 (95.6%) were included in mITT included in mITT analysis of clinical cure analysis of clinical cure 474 (87.94%) 65 (12.06%) 488 (86,22%) 78 (13.78%) clinical cures clinical cures

Predictors of Treatment Failure With Fidaxomicin and Vancomycin in *Clostridium difficile*-Associated Diarrhea

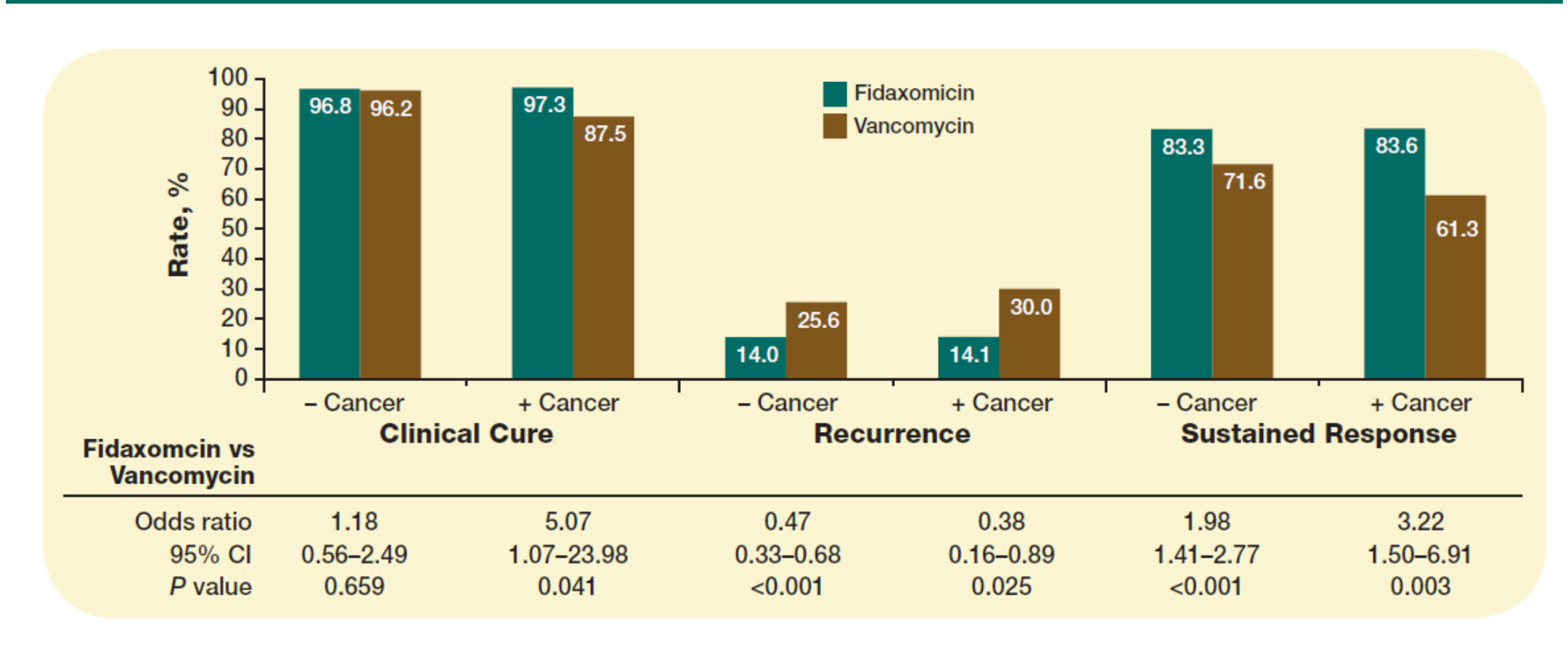
T. Louie, 1 Y. Golan, 2 K. Mullane, 3 M. Miller, 4 D. Crook, 5 A. Lentnek, 6 Y. Kean, 7 S. Gorbach 2,7

Figure 2. Effect of treatment duration on clinical cure (mITT, N = 1105).



Clinical Outcomes for Cancer Patients With Clostridium difficile Infection (CDI)

O.A. Cornely, M. Miller, B. Fantin, K. Mullane, Y. Kean, S. Gorbach



acide fusidique: Ce qu'on savait avant l'ICAAC

- Large expérience outre-USA
 - Traitement infections *S. aureus*, **500 mg x 3/j PO**
 - Toujours en association (risque sélection résistances)
 - Emergence résistances si **utilisation intensive en topique**
- Offensive commercialisation US, 2011 (Cempra)
 - Nouveau concept: **monothérapie avec dose de charge**, (1 500 mg X 2 à J1, puis 600 mg x 2/j, 10 à 14 j)
 - **Rationnel:** risque sélection résistance 10^{-6} si cc = $2 \times \text{CMI}$; 10^{-11} si 15-30 mg/L)¹
 - Obtention d'une 'patente' avec protection commerciale
 - **Etude double aveugle phase II (198 patients):** Semble aussi efficace que linézolide dans infections aiguës bactériennes peau et structures cutanées (ABSSI)²

Fernandes P, Clin Infect Dis 2011 Carl Craft J, Clin Infect Dis 2011

acide fusidique: Actualités ICAAC 2011

- 2 posters compliqués sur étude mécanismes résistance
- 1 étude clinique 'avant-après' sur l'intérêt de rajouter l'acide fusidique (500 mg X 3) à la prophylaxie par cefuroxime en chirurgie cardiaque (Fink, abs. K-481)



Retour sur les grandes épidémies 2011

Epidémie choléra Haïti

Rappel

- Choléra inédit sur Hispaniola
- Experts CDC, avril 2010, 'épidémie choléra hautement improbable'
- Octobre 2010-octobre 2011: 300 000 cas, 6 000 morts

Source de l'épidémie

- Premiers cas: Mirebalais (MINUSTAH)
- Contingent Népalais, arrivée octobre 2010
- **Epidémie choléra Katmandou** automne 2010
- Souche *Vibrio cholerae* El Tor O1 **asiatique**
- Dissémination cataclysmique, rivière Artibonite

Population density on Artibonite banks, persons/km² Artibonite banks, persons/km² Artibonite banks, persons/km² Artibonite St-Marc Petite Rivière To 107-100 To 101-200 Verettes Desarmes Boucan Carre La Chapelle Saut d'Eau Mirebalais Mirebalais Minustah Minusta

• Enquête: the 'perfect storm'?

- Aucun cas de diarrhée aiguë dans le contingent (rapport ONU)
- Evacuation fosses d'aisance confiée à entreprise locale

R. Piarroux, Emerg Infect Dis 2011

Le choléra à l'ICAAC et à l'ECCMID: scotomisé!

Rien

- 0 poster à l'ICAAC, thème 'oublié' dans la revue de la littérature (2 h)
- 1 seule communication orale, soporifique (CDC)

Malgré 10 000 cas/mois en Haïti + risque extension régionale...



But Questions Remain

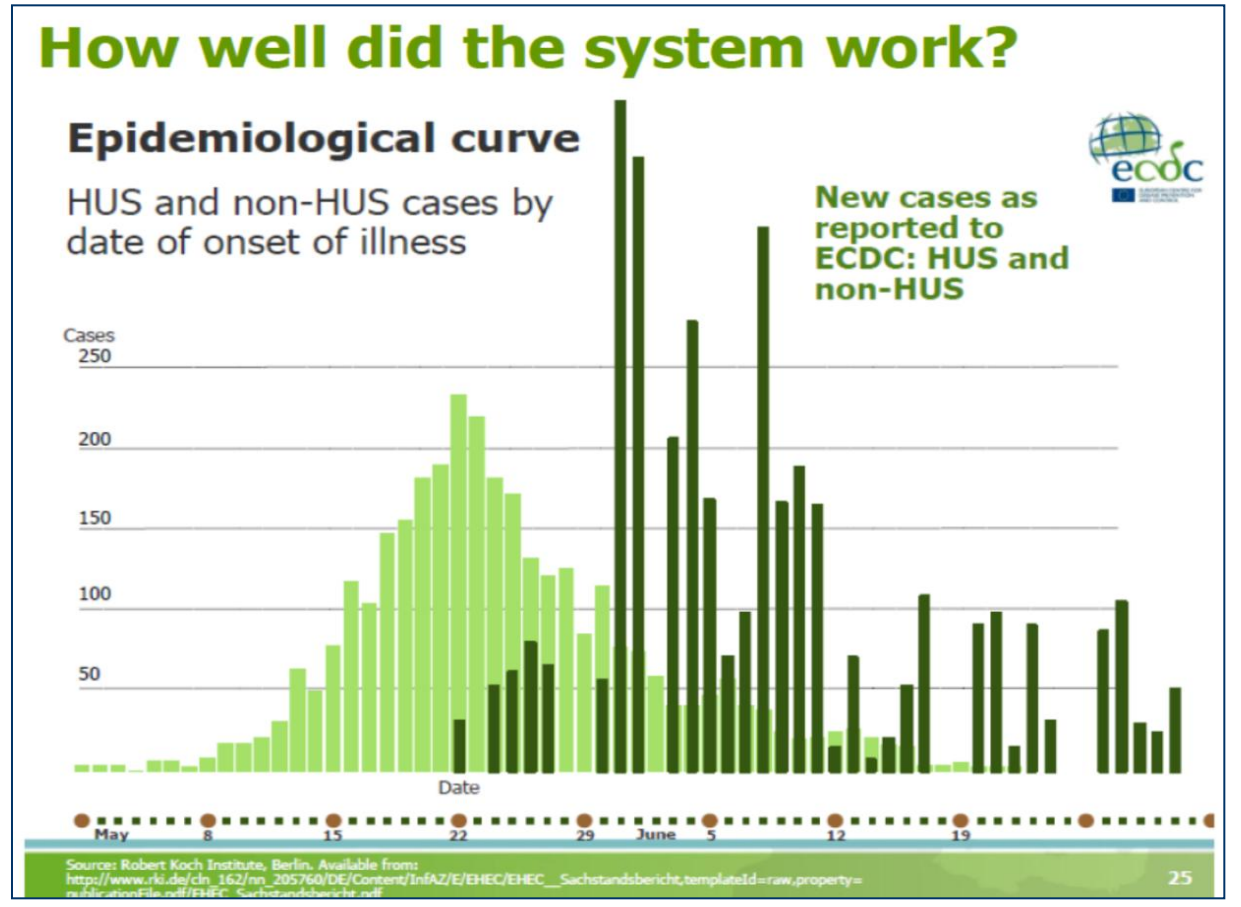


- Marc Sprenger, ECDC, abs L1-385A: 'Retour sur l'épidémie'
- 1. L'affaire du concombre espagnol Ou 'les aléas des enquêtes alimentaires'

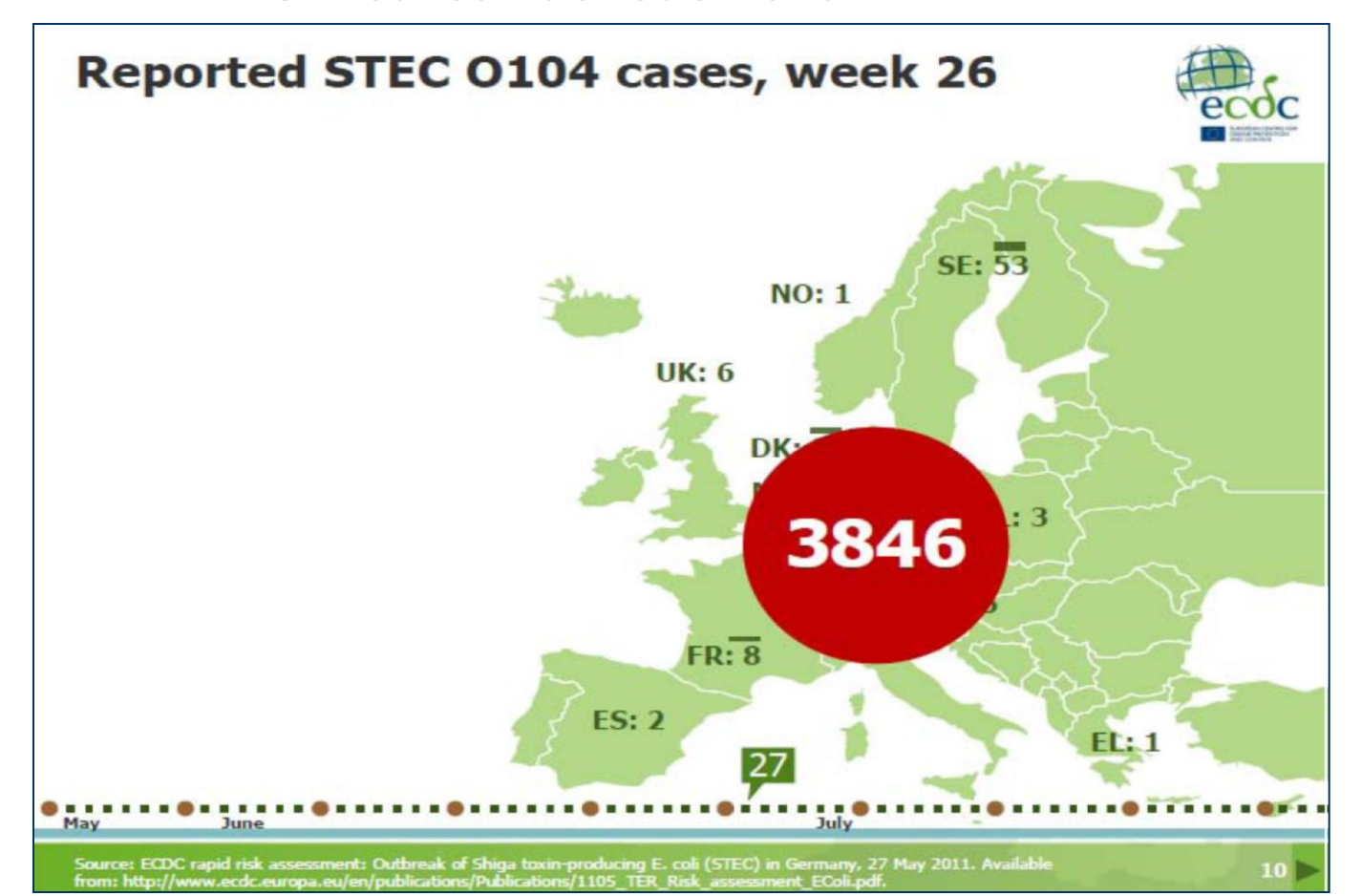


Francisco Sosa Wagner MEP holds a cucumber during the debate

- Marc Sprenger, ECDC, abs L1-385A: 'Retour sur l'épidémie'
 - 2. Comment bien suivre une épidémie

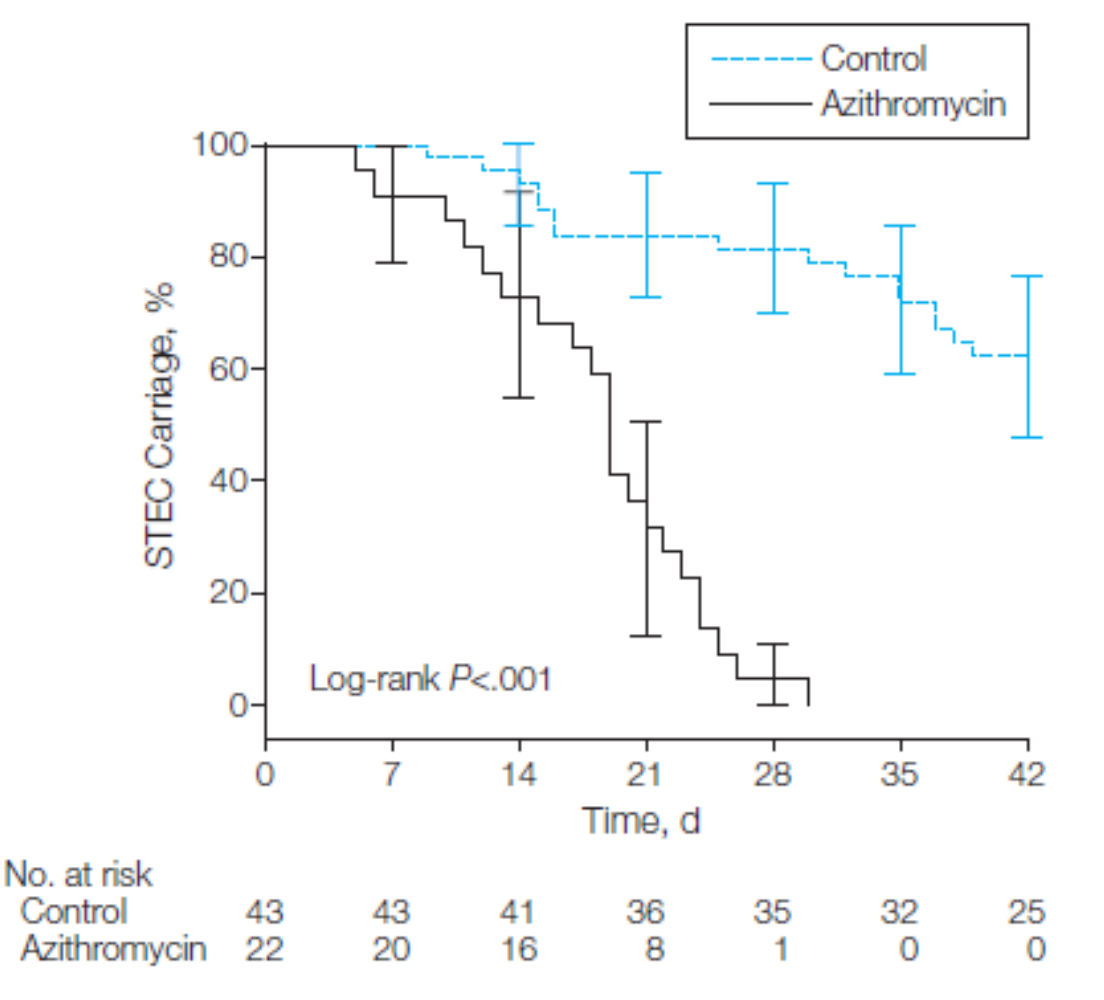


Marc Sprenger, ECDC, abs L1-385A: 'Retour sur l'épidémie'
 3. Heureux dénouement



- Effet de l'azythromycine sur le portage persistant d'*E. coli* O104:H4
- Critères d'inclusion
 - Portage d'*E. coli* 0104:H4 > 28 j
- Traitement
 - Azythromycine, 3 j
- Résultats (étude observationnelle)
 - Eradication portage > 14 j après azythro = 100% (n=22)
 vs. persistance portage c/o non traités = 81% (n=43)
 - **1 rechute** après éradication par azythro (4,5%)
 - Pas d'impact négatif de l'azythromycine (SHU)

Association Between Azithromycin Therapy and Duration of Bacterial Shedding Among Patients With Shiga Toxin-Producing Enteroaggregative *Escherichia coli* O104:H4



JAMA, March 14, 2012—Vol 307, No. 10

Azythromicine:

- 500 mg/j, J1-J3
- puis 250 mg/48 h => J14

Management of an acute outbreak of diarrhoea-associated haemolytic uraemic syndrome with early plasma exchange in adults from southern Denmark: an observational study



Edin Colic, Hans Dieperink, Kjell Titlestad, Martin Tepel

Lancet 2011; 378: 1089-93



makes Treatment of severe neurological deficits with IgG depletion through immunoadsorption in patients with Escherichia coli O104:H4-associated haemolytic uraemic syndrome: a prospective trial

> Andreas Greinacher*, Sigrun Friesecke*, Peter Abel, Alexander Dressel, Sylvia Stracke, Michael Fiene, Friedlinde Ernst, Kathleen Selleng, Karin Weissenborn, Bernhard MW Schmidt, Mario Schiffer, Stephan B Felix, Markus M Lerch, Jan T Kielstein†, Julia Mayerle†



Eculizimab

+ vaccin anti-méningo

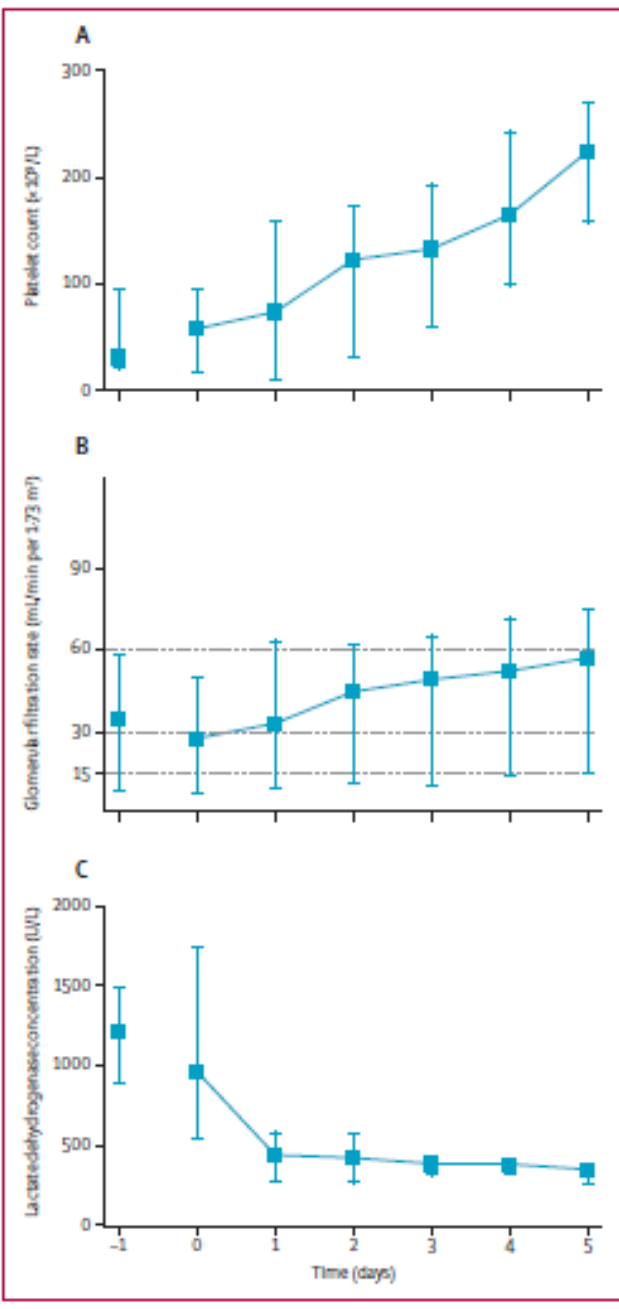


Figure 1: Response to plasma exchange, by platelet count (A), glomerular filtration rate (B), and lactate dehydrogenase concentration (C) Data are median (range). Plasma exchange started at day 0.

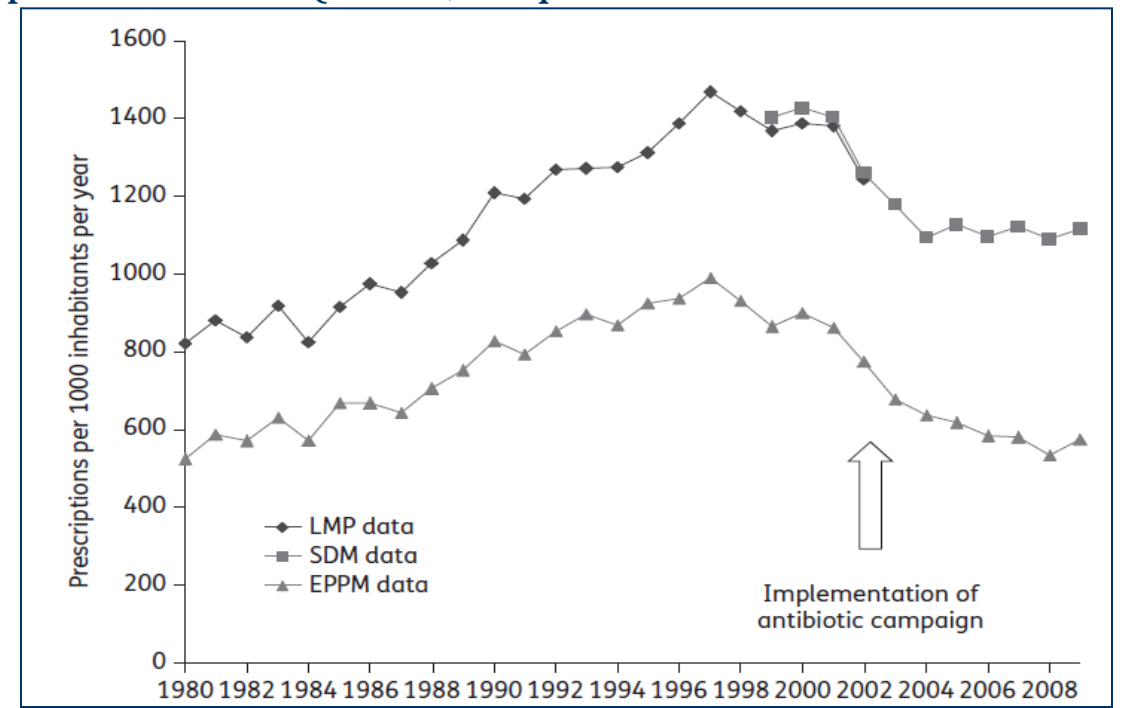
Melting pot



- Retour sur un épisode glorieux de l'Histoire de France des ATB
- Suivi de la consommation ATB en France d'après 3 sources
 - Ventes d'un échantillon de 450 pharmacies (LMP, Le Marché Pharmaceutique)
 - Base de données 60% pharmacies (SDM, Suivi de la Dispensation Médicale)

- Echantillon de 835 prescripteurs de ville (EPPM, Enquête Permanente sur la Prescription

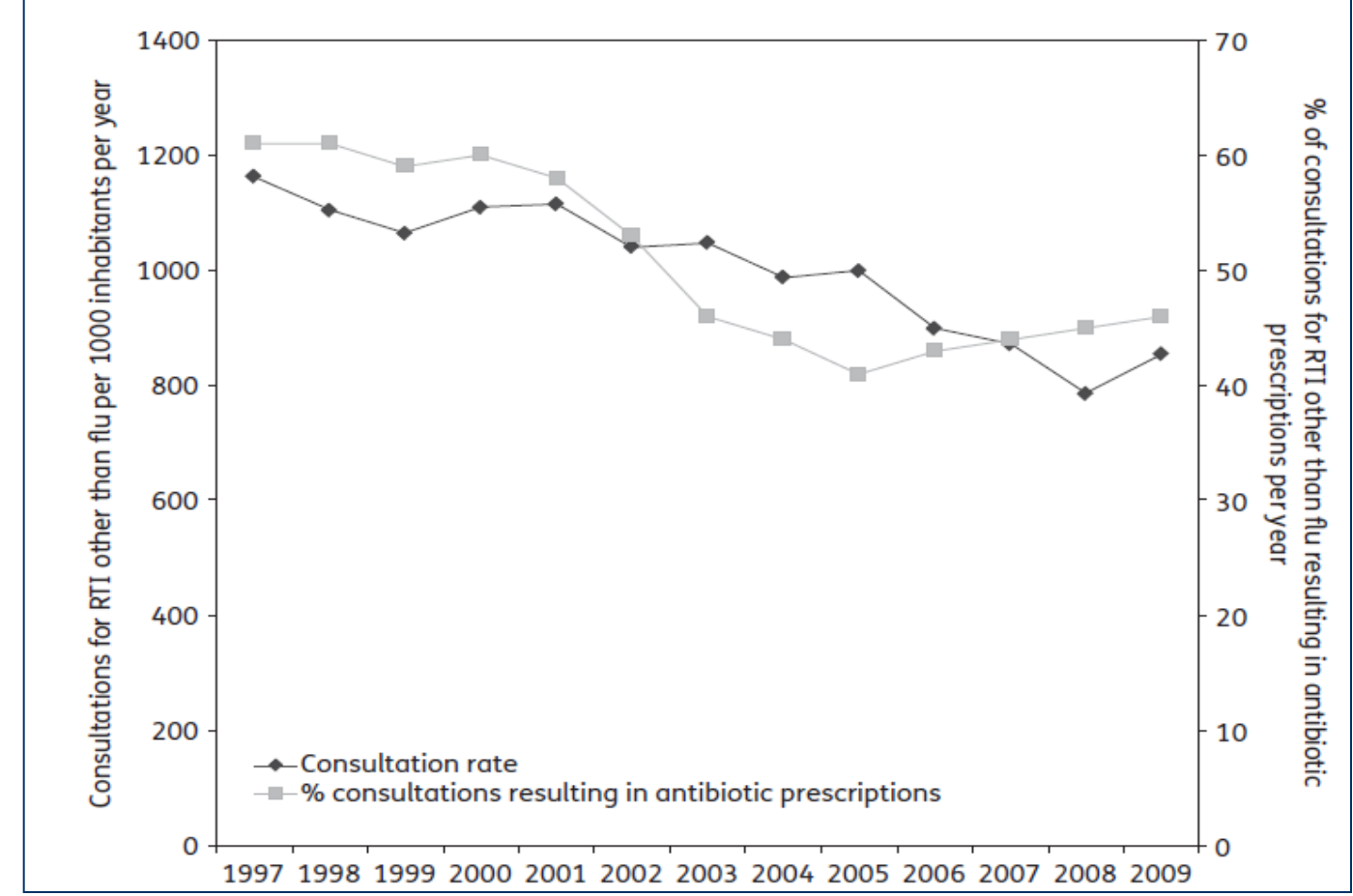
Médicale)



B. Huttner, abs. K-382

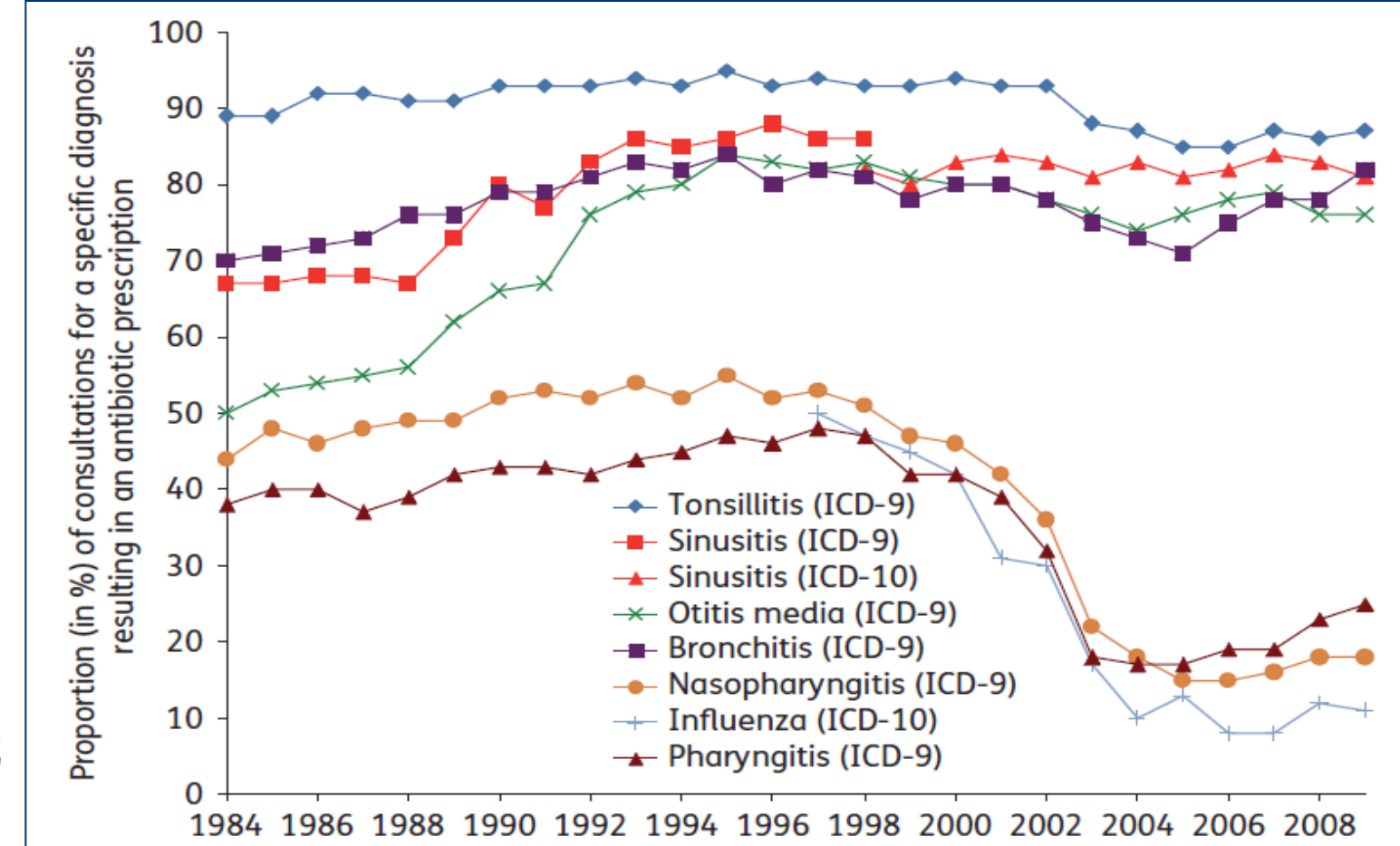
Diminution parallèle et continue des consultations pour infections respiratoires,

et du taux de prescription d'ATB lors de ces consultations



B. Huttner, abs. K-382

Diminution essentiellement des ATB pour grippe et rhinopharyngite



B. Huttner, abs. K-382

Conclusions

- L'effet attribué à la campagne ATB 2002 est en partie circonstanciel
- Les **progrès concrets** ont été obtenus dans
 - La prescription d'ATB en ville (mais pas à l'hôpital)
 - Les **infections respiratoires** (mais pas le reste)
 - La grippe et les rhinopharyngites (mais pas angines, otites, sinusites, bronchites)
- Facteurs confondants pour évaluer les progrès des prescripteurs
 - Diminution des consultations pour infection respiratoire aiguë
 - (- 23% entre 2001 et 2009)
 - Baisse drastique des visites à domicile pour infection respiratoire aiguë
 - (- 75% entre 2001 et 2009)

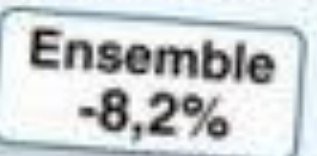
Sécurité routière

Recul du nombre de tués sur les routes



Bilan 2008

Evolution du nombre de tués sur les routes en 2008 par rapport à 2007







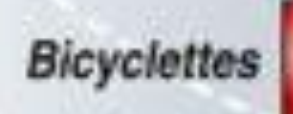
Voitures de tourisme

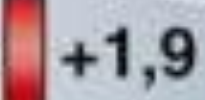


Motocyclettes



Piétons







Impact des CMI de vanco > 1,5 mg/L chez *S. aureus*

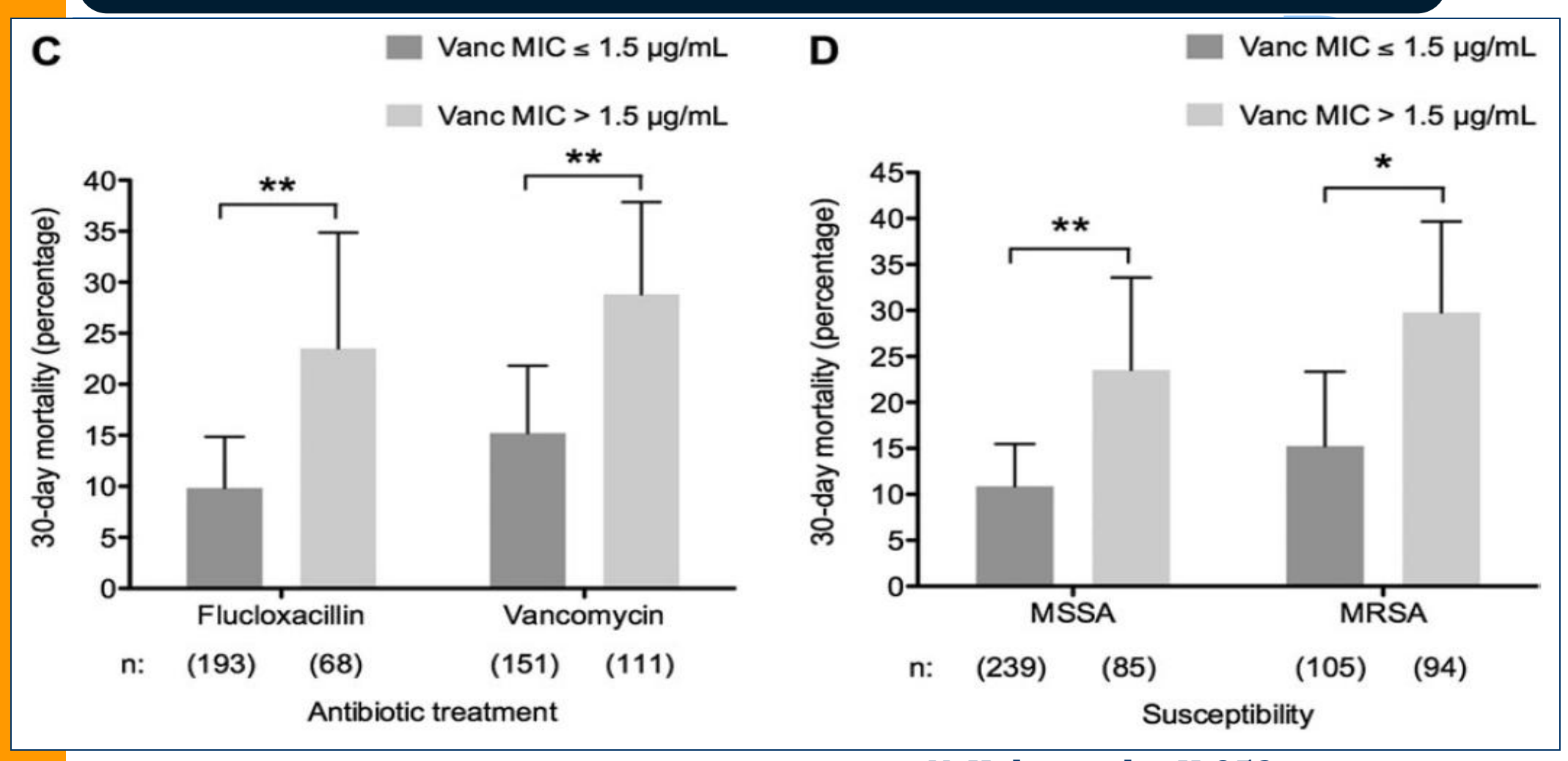
Rationnel

- Association démontrée CMI vanco élevée / pronostic bactériémies SARM
- Argumentaire pour 'vancomycine is obsolete'
- QS: Existe-t-il une relation de cause à effet ?

Méthodes: Cohorte bactériémies à S. aureus ANZCOSS

- Australian and New Zealand Cooperative on Outcomes of Staphylococcal Sepsis
- Etude observationnelle, recueil prospectif données + conservation souches
- Inclusion
 - Bactériémies à S. aureus traitées par vancomycine (n=284)
 - Bactériémies à S. aureus traitées par pénicilline M (n=284, 'appariées')
 - Mesure centralisée CMI vanco par Etest, μ-dilution CLSI (y compris SAMS) + recherche hVISA

Impact des CMI de vanco > 1,5 mg/L chez *S. aureus*



N. Holmes, abs. K-953

Impact des CMI de vanco > 1,5 mg/L chez S. aureus

Table 3. Factors Associated With 30-Day All-Cause Mortality Using Logistic Regression With Univariate and Multivariate Models

	All patie	ents $(n = 523)$		Patients with MSSA bacteremia ($n = 324$)		
		Multivariate analysis ^a			Multivariate analysis ^a	
Variable	Univariate analysis,P	OR(95% CI)	P	Univariate analysis,P	OR(95% CI)	Р
Age	<.001	1.06 (1.04–1.08)	<.001	<.001	1.06 (1.04–1.08)	<.001
High vancomycin Etest MIC b	<.001	2.08 (1.24-3.47)	.005	.005	2.44 (1.21-4.92)	.012
Hospital onset	.008	1.75 (1.05-2.92)	.033	.041	1.68 (.85-3.31)	.136
MRSA	.021	1.24 (.55-2.80)	.606			
Vancomycin treatment	.023	1.03 (.46-2.31)	.949	.410		
Principal clinical manifestation	.163	1.05 (.97-1.14)	.198	.204		
Device associated ^c	.529			.242		
Male sex	.551			.517		
White ethnicity	.761			.609		

 Analyse multivariée: Seuls l'âge et la CMI vanco > 1,5 mg/L sont prédictifs du décès (y compris analyse SAMS seulement)

Impact des CMI de vanco > 1,5 mg/L chez *S. aureus*

Discussion

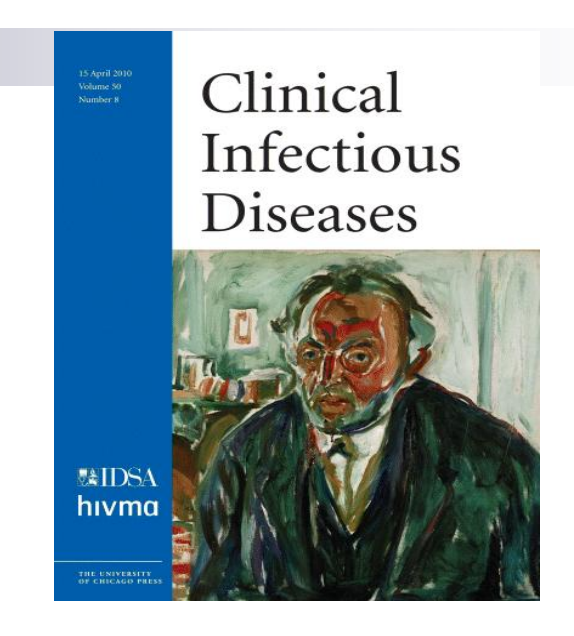
- CMI vanco > 1,5 mg/L facteur pronostic puissant bactériémies *S. aureus*
- Même si bactériémie SAMS traitée par pénicilline M
- Ce n'est pas lié à certains clones (sous étude => clones divers)
- CMI vancomycine > 1,5 = facteur confondant, marqueur d'une particularité de la bactérie qui la rend plus virulente ou plus résistante (métabolisme ou structure paroi ou membrane, autolysine)
- L'insolente bonne santé de la vancomycine (> 50 ans)
 - Emergence SARM vanco-R => contrôlée
 - Afflux de nouveaux anti-Gram + => vancomycine toujours 'la référence'
 - Etudes valeurs pronostiques CMI vanco élevées => facteur confondant
 - Ombre qui plane sur les génériques => ? ? ??

C. Liu, Guidelines IDSA treatment MRSA, Clin Infect Dis 2011



Use of Antistaphylococcal β-Lactams to Increase Daptomycin Activity in Eradicating Persistent Bacteremia Due to Methicillin-Resistant Staphylococcus aureus: Role of Enhanced Daptomycin Binding

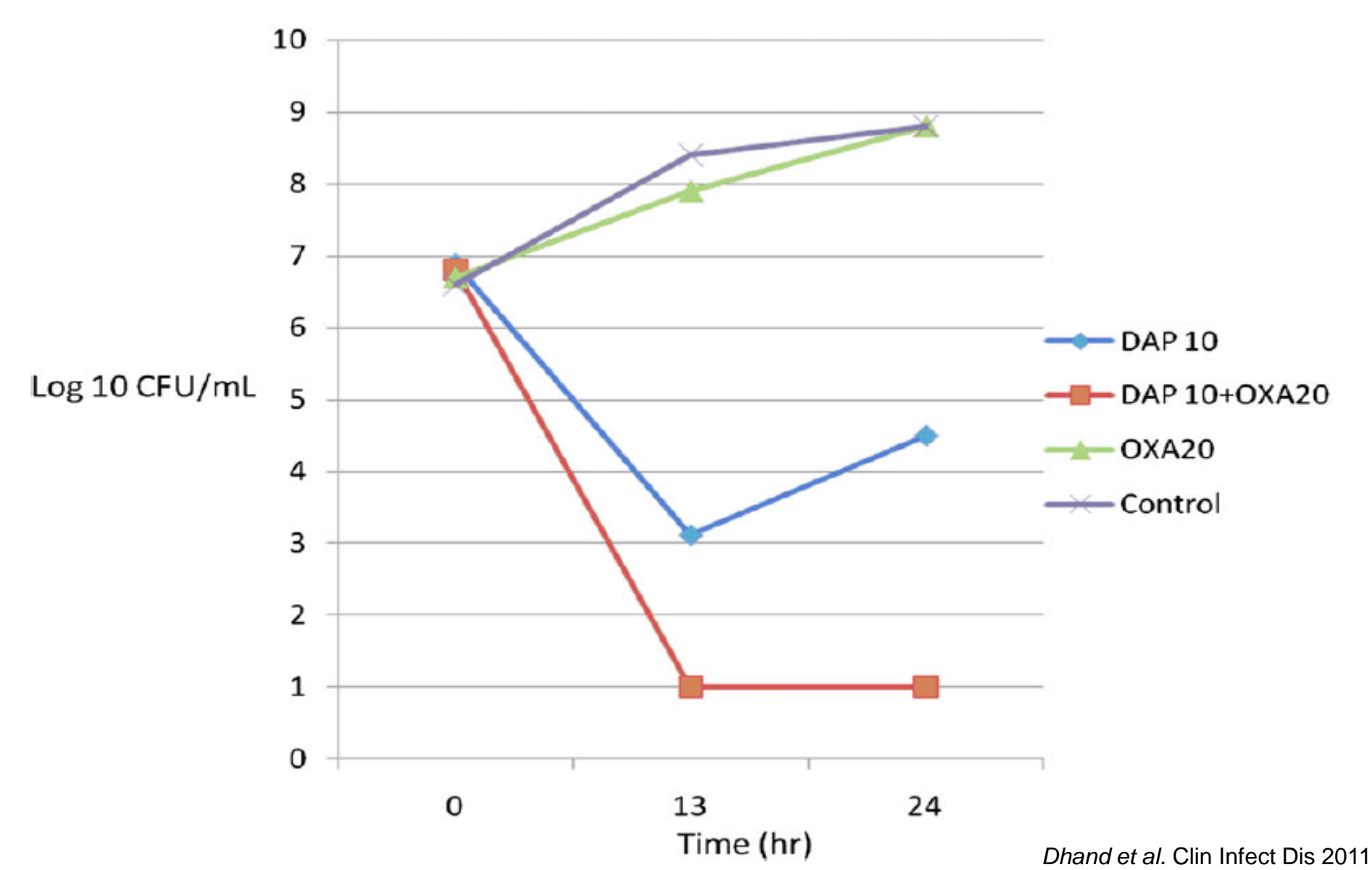
Abhay Dhand,¹ Arnold S. Bayer,^{3,4} Joseph Pogliano,⁵ Soo-Jin Yang,^{3,4} Michael Bolaris,³ Victor Nizet,⁵ Guiquing Wang,² and George Sakoulas^{1,5,6}



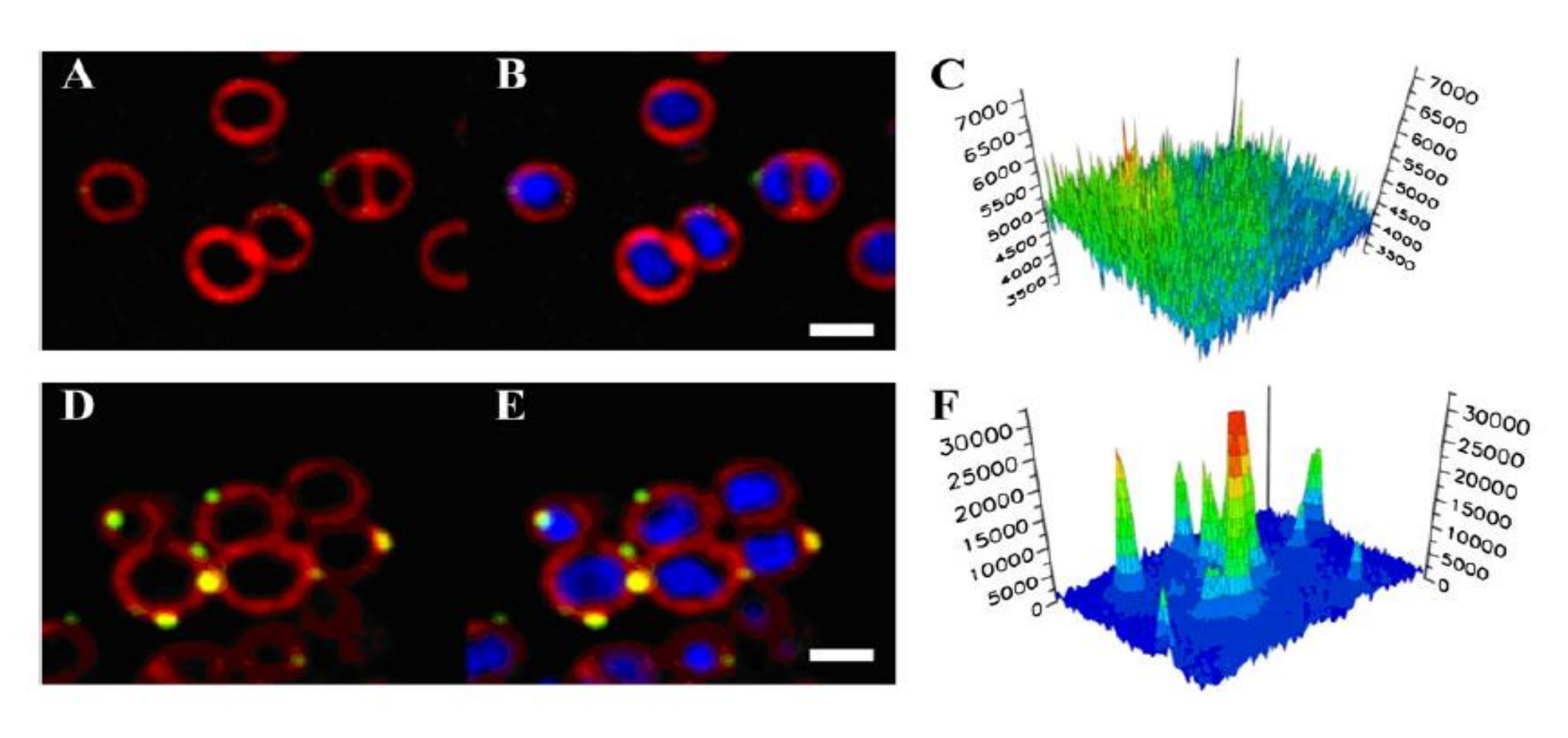
- 7 patients 'bactériémie SARM réfractaire'
 - □ 7 à 22 jours bactériémie sous vanco, avec associations et relais divers (gentamicine, rifampicine, daptomycine)
 - □ Pas de foyer persistant évident
 - □ CMI vanco et dapto restées < 1 (n=6)</p>
 - □ Une souche => VISA (CMI vanco 3; dapto 2-4 mg/L)

Tous ont rapidement négativé HC sous dapto + pénicilline M

Courbe de bactéricidie



Mécanisme de la synérgie dapto/péni M

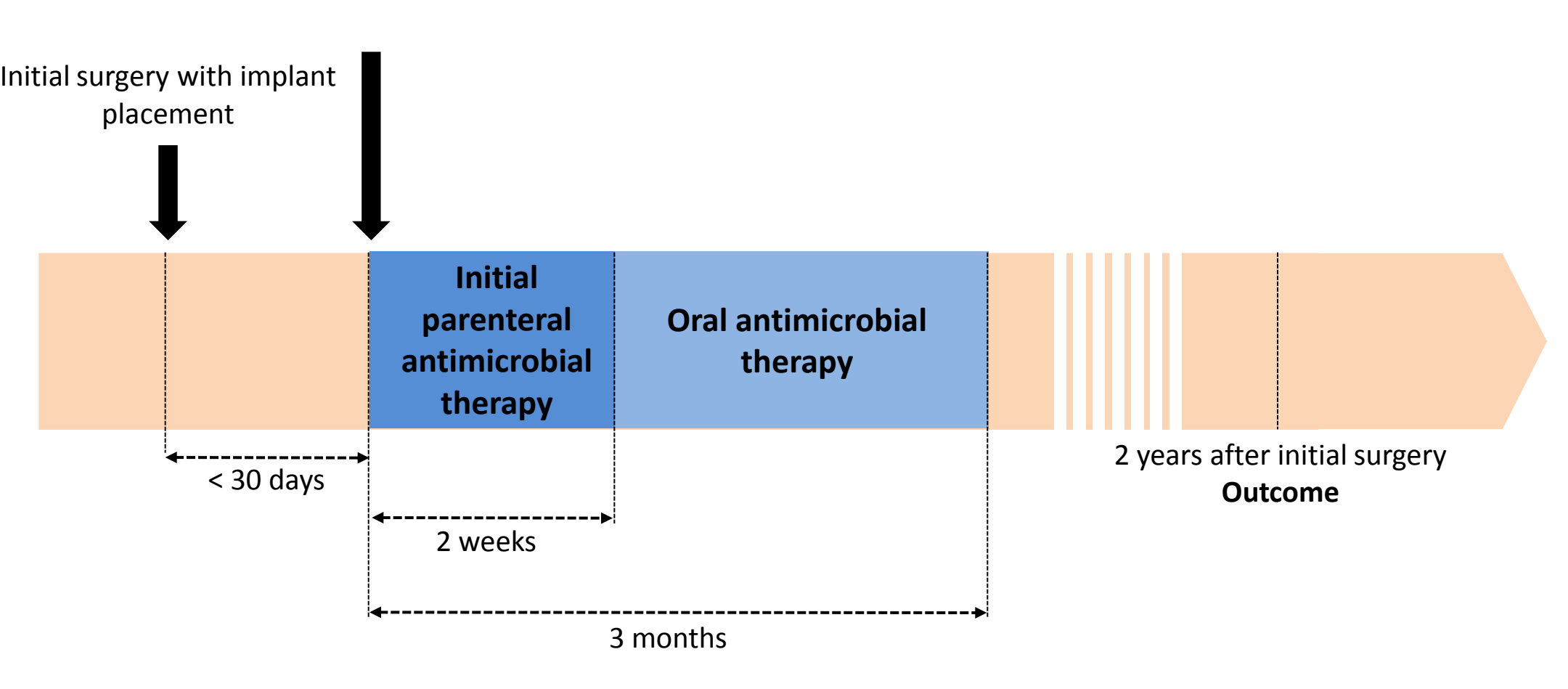


Antibiothérapie 'courte' (3 mois) pour infections précoces sur matériel d'ostéosynthèse du rachis

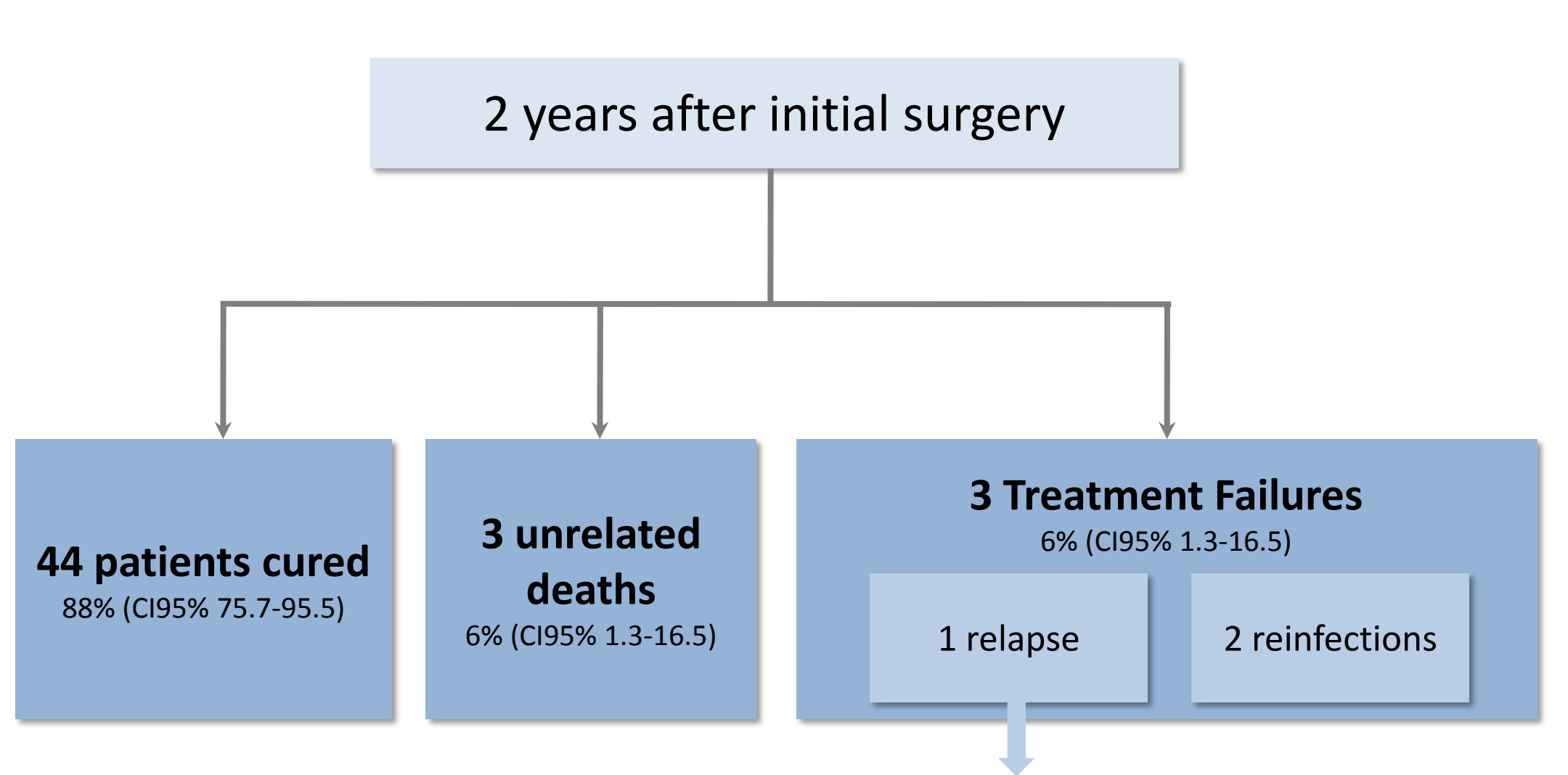
- Recommandations experts
 - Lavage avec rétention du matériel
 - ATB
 - 4 semaines IV
 - Puis ≥ 6 mois (jusqu'à consolidation)
- Pas du tout 'basé sur des preuves'
- Cohorte Beaujon: 50 patients (2004-2007)
 - Lavage avec rétention du matériel + 2 semaines IV + 2,5 mois PO
 - Exclusion = mycose ou ablation matériel ou pas de reprise

Treatment procedure

Surgical debridement, implant retention



Outcome



Meticillin-susceptible *S. aureus* infection Relapse 420 days after initial surgery

Discussion

- La + grosse cohorte d'infections sur matériel d'ostéosynthèse du rachis
- Critères d'inclusion bien définis
- Traitement standardisé
- De quoi proposer enfin des recommandations 'evidence-based' !

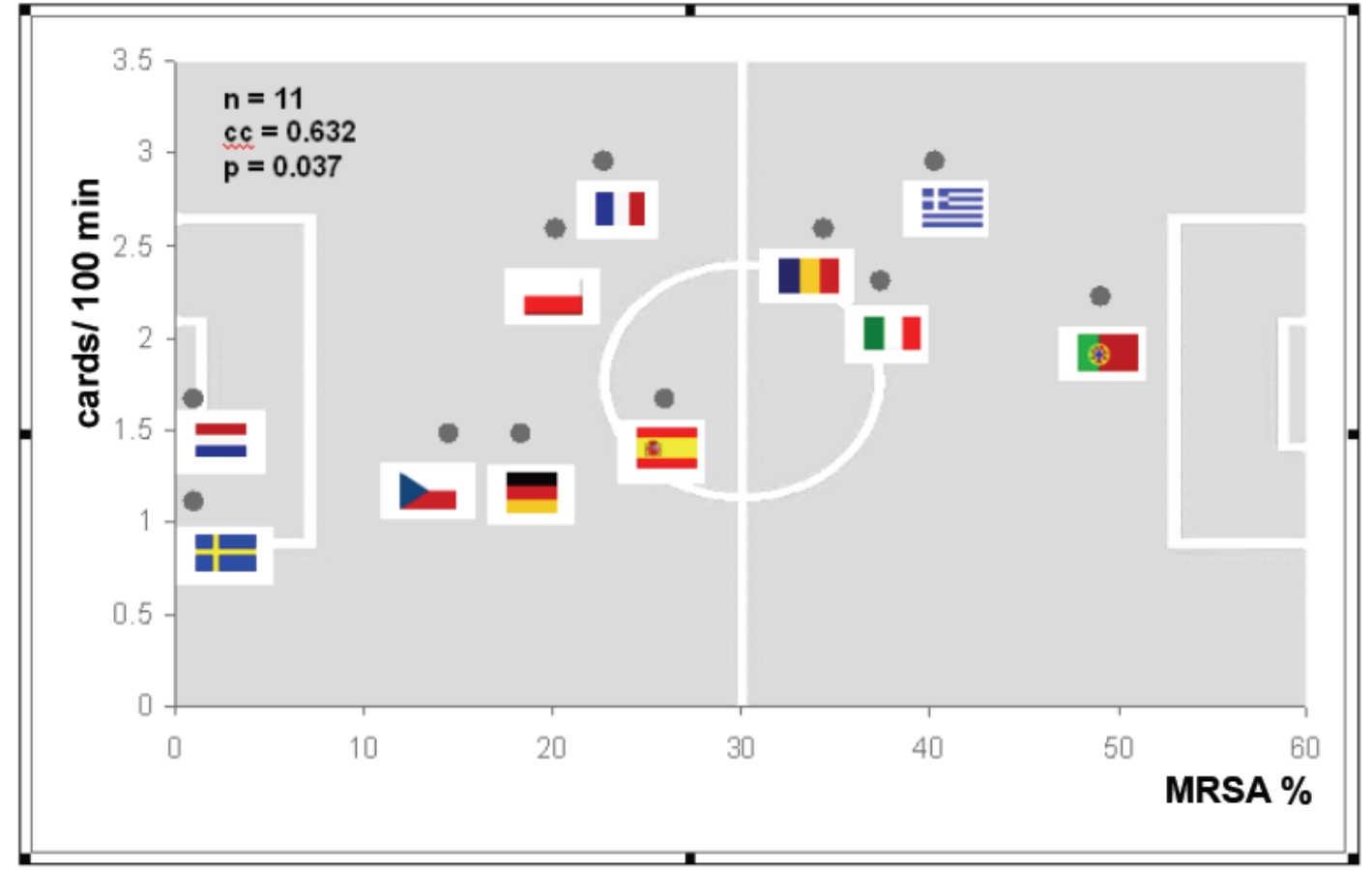
Study	Treatment	No. of patients	Success Rate	Median follow- up
	Debridement surgery with implant retention			
This study	IV antibotics 2 weeks	50	88 %	> 3 years
	Oral antibiotics 10 weeks			
	Debridement surgery with implant retention			
Kowalski <i>et al,</i> CID 2007	IV antibiotics 5.8 weeks (median duration)	30	71%	3 years
	Oral antibiotics 43 weeks (median duration)			
Sierra-Hoffman <i>et al,</i> South Med J 2010	Debridement surgery with implant retention			
	IV antbiotics 4–8 weeks	19	89%	> 3 years
	Oral antibiotics 0–24 weeks			

National MRSA rates run along with fair play of national football teams – A cross-national data analysis of the European Football Championship 2008

E. Meyer, P. Gastmeier, F. Schwab

Institute of Hygiene and Environmental Medicine | Charité-University Medicine Berlin | Berlin | Germany

Figure 3 Correlation between prevalence of methicillin resistant *S. aureus* and indicator for fair play (i.e. yellow and red cards/ 100 minutes; European Football Championship), 2008





European Conference of Clinical
Microbiology and Infectious
Diseases
(Londres, 30 mars-3 avril)

High prevalence of methicillin-resistant Staphylococcus aureus clone ST80-IV in hospital and community settings in Algiers

K. Antri¹*, N. Rouzic^{2,3}*, O. Dauwalder^{2,3}, I. Boubekri¹, M. Bes^{2,3}, G. Lina^{2,3}, F. Vandenesch^{2,3}, M. Tazir¹, N. Ramdani-Bouguessa¹ and J. Etienne^{2,3}

1) Centre Hospitalo-Universitaire Mustapha Bacha, Algiers, Algeria, 2) Université Lyon 1, Lyon and 3) Hospices Civils de Lyon, Bron, France

TABLE 2. Panton-Valentine leukocidin (PVL) genes in 221 Staphylococcus aureus isolates recovered from patients admitted to Mustapha Bacha Hospital, Algiers, between April 2006 and December 2007

	Community infections		Hospi infecti		
Characteristic	n	%	n	%	p-value
All Staphylococcus aureus	84		137		
PVL-positive	42	50.0	57	41.6	Ns
PVL-negative	42	50.0	80	58.4	•
All MSSA	50		72		
PVL-positive	12	14.3	8	5.8	0.06
PVL-negative	38	45.2	64	46.7	
All MRSA	34		65		
PVL-positive	30	35.7	49	35.8	0.13
PVL-negative	4	4.8	16	11.7	

Import and Spread of Panton-Valentine Leukocidin–Positive *Staphylococcus aureus* Through Nasal Carriage and Skin Infections in Travelers Returning From the Tropics and Subtropics

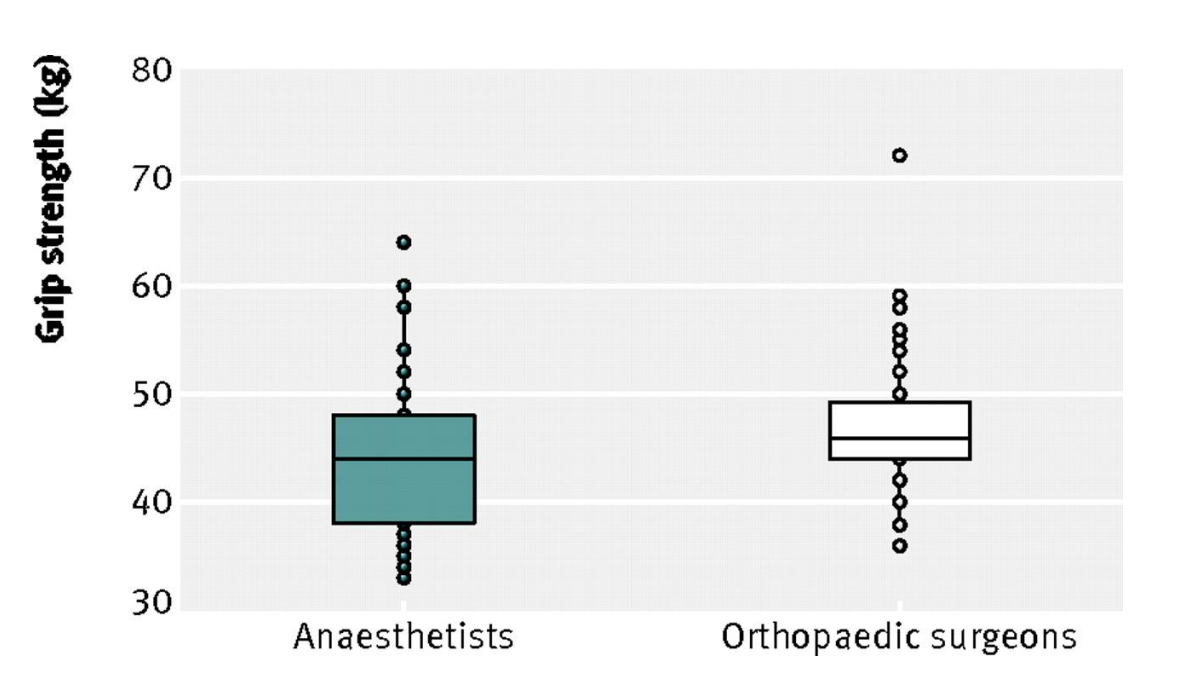
Philipp Zanger,¹ Dennis Nurjadi,¹ Regina Schleucher,^{1,a} Helmut Scherbaum,³ Christiane Wolz,² Peter G. Kremsner,¹ and Berit Schulte²

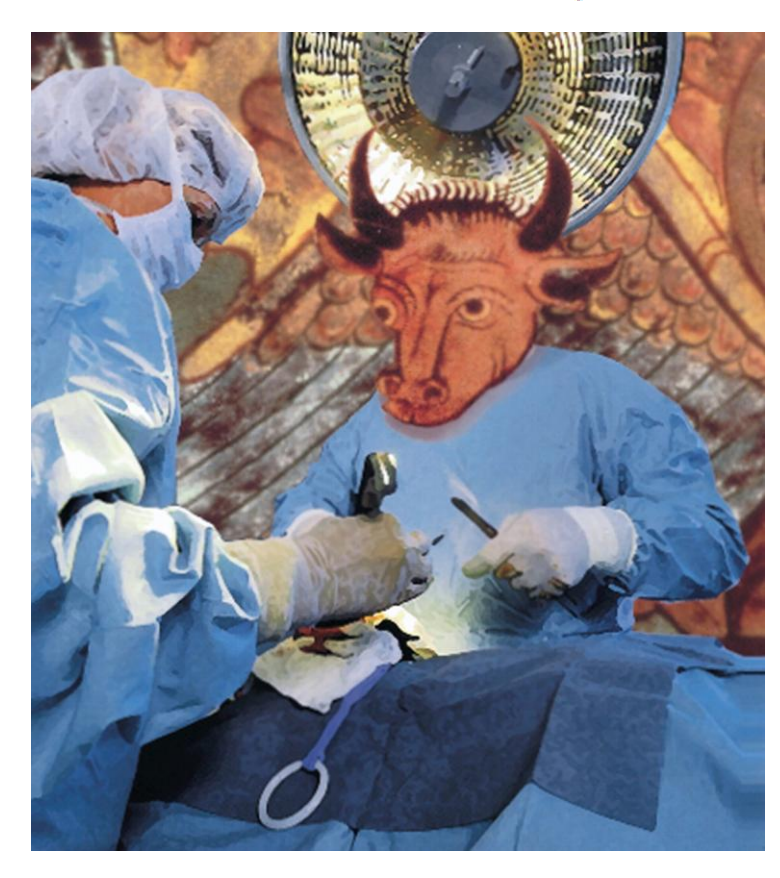


Characteristics	S. aureus-Positive SSTI (n = 38)
Female	23 (61)
Mean age in years (SD)	31 (13)
Current smokers	11 (30) ^d
Mean travel duration in months as natural log (SD)	0.84 (1.2)
Travel destination	
East Asia	7 (18)
Latin America	6 (16)
Africa	18 (47)
Middle East/Central Asia	2 (5)
Australia/Pacific	5 (13)
Purpose of travel (ordered)	
Educational	4 (11)
Business	3 (8)
Leisure	19 (50)
VFR	3 (8)
Volunteering/humanitarian	9 (24)
Antimalarial chemoprophylaxis	4 (12) ^g
Antibiotic intake within 30 days before consultation	15 (44) ^h
S. aureus nasal carriage	27 (73) ^d
PVL-positive nasal carriage	13 (35) ^d
PVL-positive lesion	27 (73) ^d

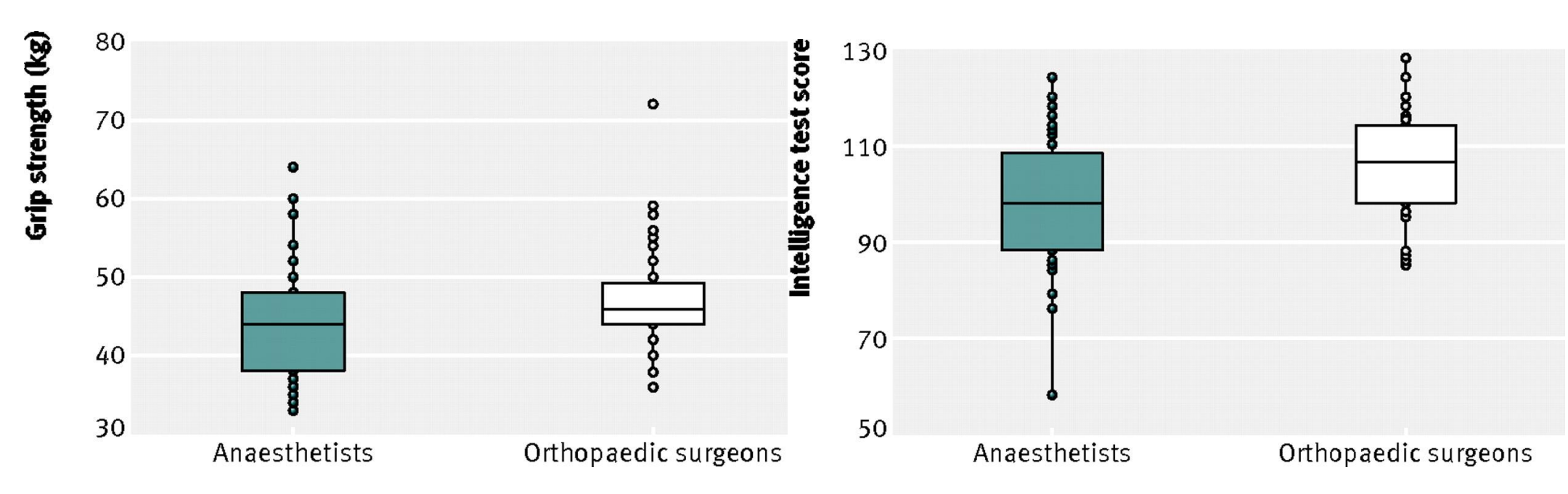
Orthopaedic surgeons: as strong as an ox and almost twice as clever? Multicentre prospective comparative study

BMJ 2011;343:d7506





Orthopaedic surgeons: as strong as an ox and almost twice as clever? Multicentre prospective comparative study BMJ 2011;343:d7506





Dexamethasone and length of hospital stay in patients with community-acquired pneumonia: a randomised, double-blind, placebo-controlled trial

Sabine C A Meijvis, Hans Hardeman, Hilde H F Remmelts, Rik Heijligenberg, Ger T Rijkers, Heleen van Velzen-Blad, G Paul Voorn, Ewoudt M W van de Garde, Henrik Endeman, Jan C Grutters, Willem Jan W Bos, Douwe H Biesma

Lancet 2011; 377: 2023-30

- Etude OVIDIUS: bi-centrique (Pays Bas), randomisée, de supériorité, contrôlée versus placebo, évaluant l'intérêt de la dexaméthasone (DXM, 5 mg/j x 4 j) dès la prise en charge aux urgences (dans les 12 h) des PAC
- Critère principal = durée d'hospitalisation

Etude OVIDIUS

- 304 patients randomisés: 151 (DXM) *versus* 153 (placebo), aucun perdu de vue
- Age moyen = 63,6 ans, PAC scores Fine IV/V = 52,3 % *versus* 41,8% (p < 0,05)
- **Documentation microbiologique** = 55 %
 - □ pneumocoque = 41 %
 - □ bactéries intracellulaires = 33 %
- Durée de séjour = 6,5 j (DXM) versus 7,5 j (placebo), soit -13% (p = 0,048)

	DXM (%)	Placebo (%)	р
Glycémie > 11 mmol/l	44	23	< 0,0001
Perforation gastrique	0,7	0	ND
Admission en réanimation	5	7	0,47
Mortalité hospitalière	5,3	5,2	0,98
Mortalité J30	6,0	7,2	0,68

Etude ZEPHyR

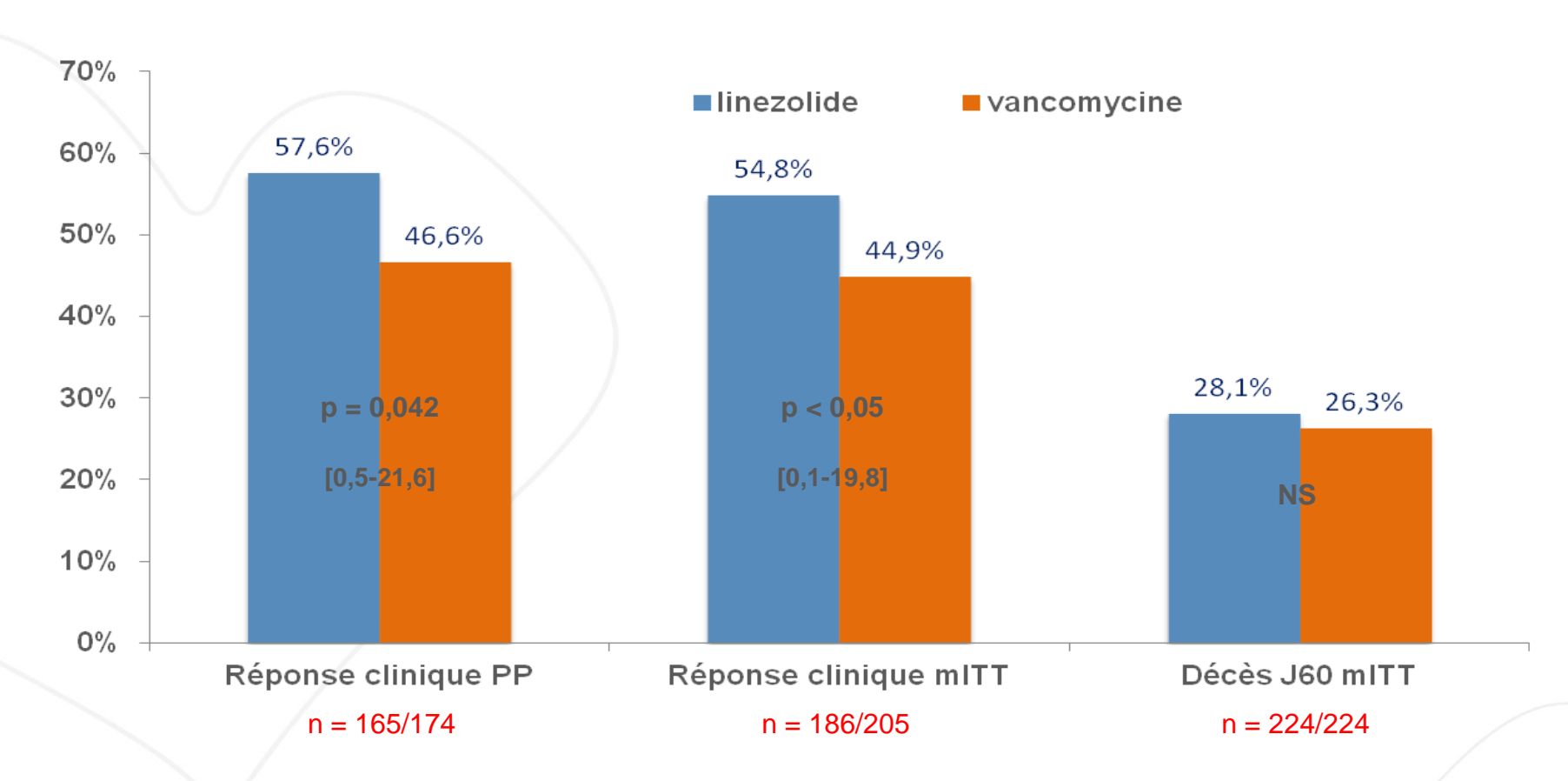
Linezolid in Methicillin-Resistant *Staphylococcus* aureus Nosocomial Pneumonia: A Randomized, Controlled Study

Richard G. Wunderink,¹ Michael S. Niederman,² Marin H. Kollef,³ Andrew F. Shorr,⁴ Mark J. Kunkel,⁵ Alice Baruch,^{5,a} William T. McGee,⁶ Arlene Reisman,⁵ and Jean Chastre⁷

- ZEPHyR: étude randomisée de non-infériorité avec hypothèse de supériorité du linezolide (600 mg x 2/j) versus vancomycine (15 mg/kg x 2/j avec dosages systématiques) dans le traitement de pneumopathies à SARM liées aux soins
- Traitement 7 à 21 jours, évaluation 7 à 30 jours après la fin du traitement (= fin d'étude)
- Critère principal: réponse clinique des patients en fin d'étude (analyse per-protocole)



Résultats (2)



Non infériorité et Supériorité du linezolide démontrées en PP et mITT

Etude Zéphyr: évolution selon taux résiduels vancomycine J3 et CMI

Vancomycin trough levels (day 3)	
0–7.9 μg/mL	 17/35 (48.6)
8–12.3 μg/mL	 17/37 (46.0)
12.4–17.4 μg/mL	 15/33 (45.5)
>17.4 μg/mL	 15/33 (45.5)

Vancomycin MIC

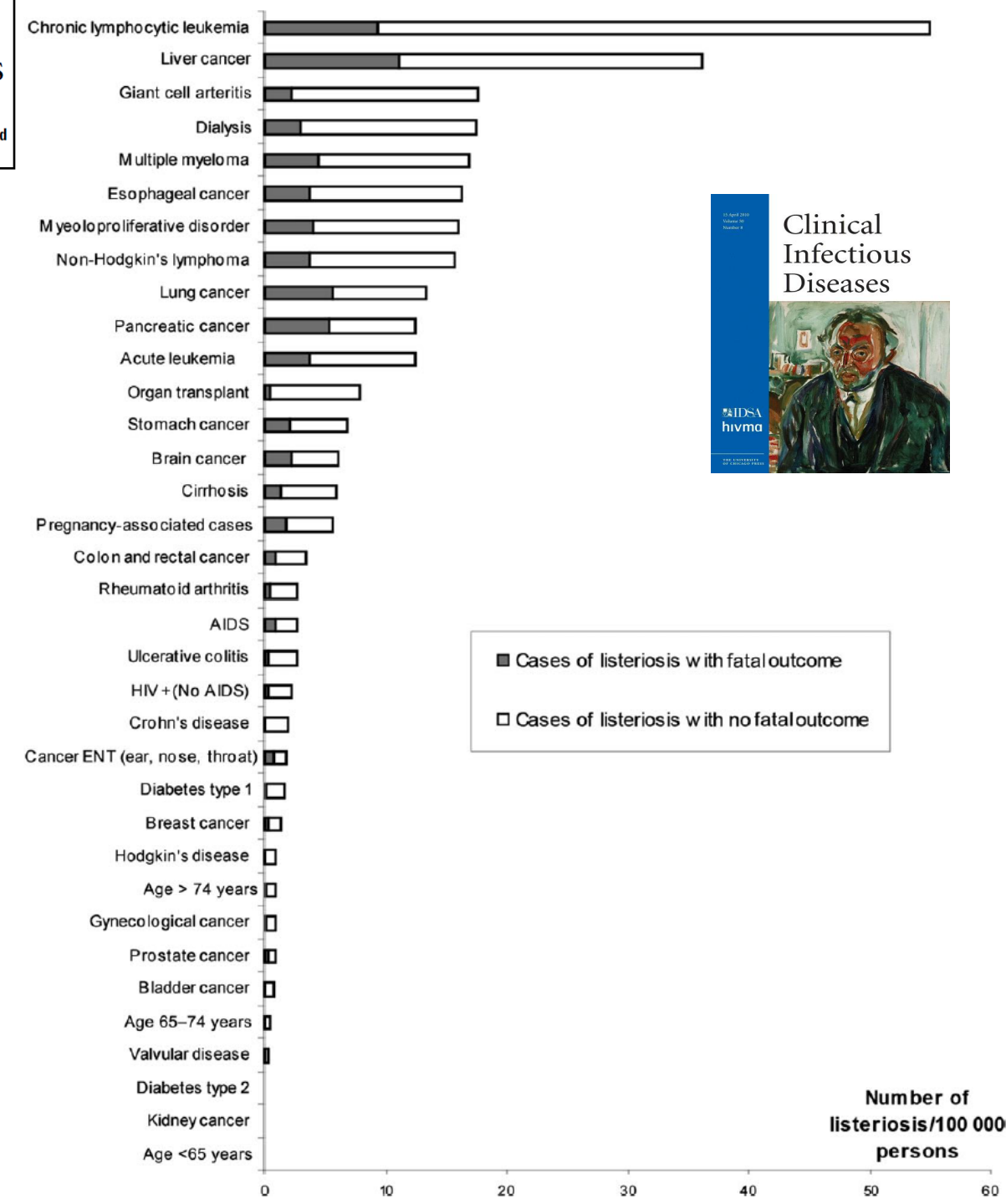
<1 μg/mL	10/16 (62.5)	7/14 (50.0)
1 μg/mL	77/122 (61.5)	64/134 (47.8)
≥2 µg/mL	3/8 (37.5)	7/13 (53.8)

Incidence of Listeriosis and Related Mortality Among Groups at Risk of Acquiring Listeriosis

Véronique Goulet,¹ Marjolaine Hebert,¹ Craig Hedberg,² Edith Laurent,¹ Véronique Vaillant,¹ Henriette De Valk,¹ and Jean-Claude Desenclos¹

1959 listérioses documentées en France (2001-2008)

Estimation incidence selon groupes à risques



The NEW ENGLAND JOURNAL of MEDICINE

ESTABLISHED IN 1812

AUGUST 25, 2011

VOL. 365 NO. 8

Azithromycin for Prevention of Exacerbations of COPD

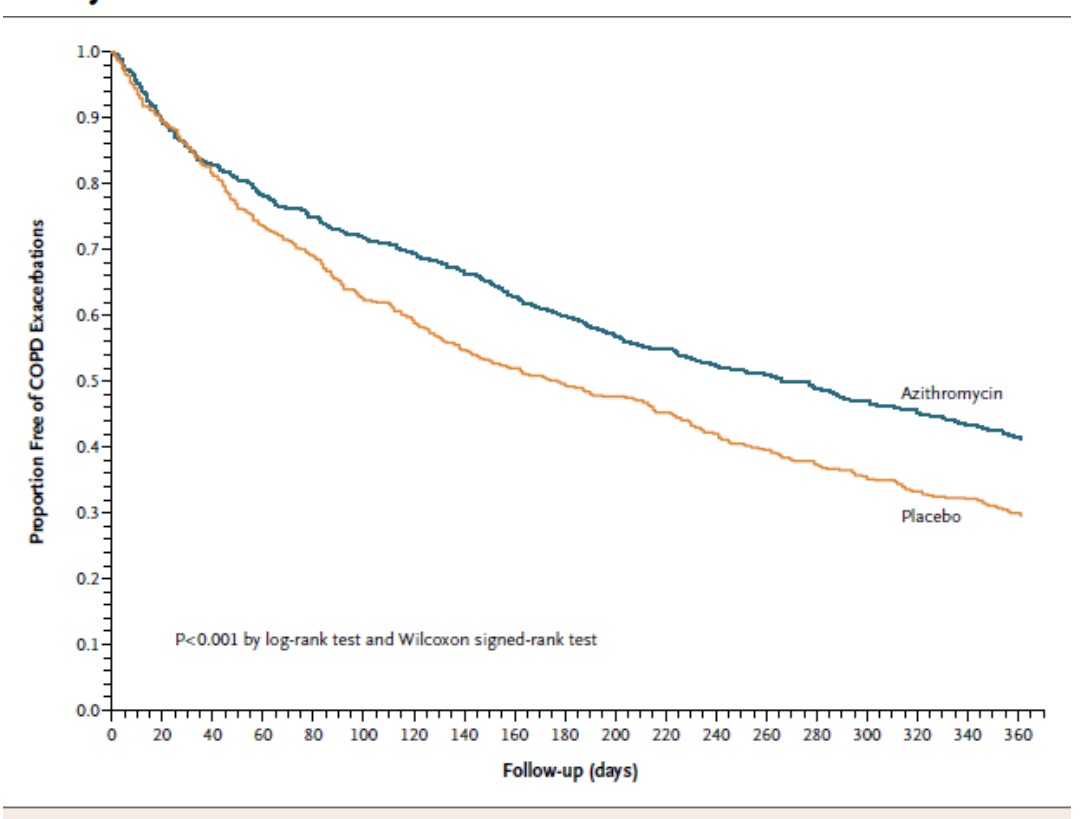


Figure 2. Proportion of Participants Free from Acute Exacerbations of Chronic Obstructive Pulmonary Disease (COPD) for 1 Year, According to Study Group.

The analyses were based on the participants who were randomly assigned to the group minus those who did not return for any follow-up assessment — 558 participants in the azithromycin group, of whom 317 (57%) had an acute exacerbation, and 559 in the placebo group, of whom 380 (68%) had an acute exacerbation.

Early Corticosteroids in Severe Influenza A/H1N1 Pneumonia and Acute Respiratory Distress Syndrome

Christian Brun-Buisson^{1,2,3}, Jean-Christophe M. Richard⁴, Alain Mercat⁵, Anne C. M. Thiébaut^{3,6}, and Laurent Brochard^{1,2,7}, for the REVA-SRLF A/H1N1v 2009 Registry Group*

TABLE 3. OUTCOMES OF 208 PATIENTS WITH ADULT RESPIRATORY DISTRESS SYNDROME SECONDARY TO INFLUENZA A/H1N1V 2009 INFECTION, ACCORDING TO TREATMENT WITH CORTICOSTEROIDS					
	No Steroids	Steroids			
Variable	(n = 125)	(n = 83)	P Value		
Death in hospital	21 (16.8)	28 (33.7)	0.005		
ICU-acquired infection	44 (35.2)	38 (45.8)	0.052		
ICU-acquired pneumonia	33 (26.4)	34 (41.0)	0.01		
Duration of MV, d					
All patients ($n = 208$)	13 (8–24)	17 (10–29)	0.07		
Survivors only $(n = 158)$	16 (9–24)	17 (12–26)	0.26		
Length of ICU stay, d*					
All patients	17 (11–30)	22 (13-39)	0.11		
Survivors only	20 (14-33)	25 (14-40)	0.15		
Ventilator-free days†					
At 28 d	8 (0–17)	0 (0–12)	0.01		
At 60 d	40 (25-49)	31 (0-44)	0.005		

Ideas and Opinions

Annals of Internal Medicine

Engineered H5N1: A Rare Time for Restraint in Science

Thomas V. Inglesby, MD

Two scientific teams have recently engineered the H5N1 virus to make it readily transmissible between ferrets. Given that ferrets are considered the most reliable animal surrogate for human influenza infection, the newly engineered H5N1 strain is probably transmissible between humans as well. The potential consequences of an engineered human-transmissible H5N1 strain are stunning. Although seasonal flu infects as much as 20% of the world's population—more than 1 billion persons—each year, only a small fraction of those with seasonal flu dies, most often the oldest, youngest, and sickest. If the newly engineered strain were to escape the laboratory (either by design or by accident) and spread as widely as seasonal flu with anywhere near the current confirmed H5N1 human case-fatality rate, it could endanger the lives of hundreds of millions of persons. The possible benefits of this work do not justify taking such risks. As clinicians, we have a stake in this

issue with our responsibilities for the diagnosis and treatment of influenza. We embrace the principle of free and open exchange of scientific information, but we also believe in the principle of "first, do no harm." These 2 principles have come into a moment of rare conflict. It seems most reasonable and prudent to request that the involved scientific community and its institutions exercise restraint by restricting dissemination of the experimental results and discontinuing work on the engineered H5N1 strains. If a highly compelling case is made for continued work on this strain despite the risks, the work should be controlled and should merit the greatest scrutiny.

Ann Intern Med. 2012;156:460-462.

www.annals.org

For author affiliation, see end of text.

This article was published at www.annals.org on 27 January 2012.

Laboratory Creation of a Highly Transmissible H5N1 Influenza Virus: Balancing Substantial Risks and Real Benefits

Andrew T. Pavia, MD

Controversy erupted when influenza researchers announced that they had created an H5N1 influenza virus that was transmissible between ferrets. The controversy escalated when the National Science Advisory Board for Biosecurity (NSABB) recommended that the work be published but recommended significant voluntary redactions. The responses to the NSABB action and to the research itself have been polarized. A readily transmitted H5N1 virus could be extraordinarily lethal; therefore, the risk for accidental release is significant, and deliberate misuse of the data to create a biological

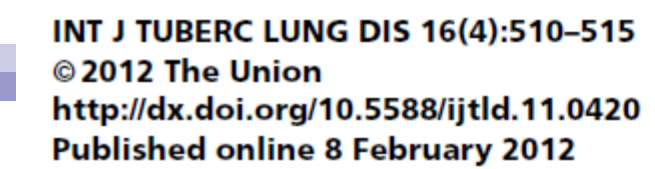
weapon is possible. However, the knowledge gained by these and future experiments under appropriate safeguards is likely to allow critical understanding of influenza transmission and virulence. It would be irresponsible to adopt either extreme solution: to prevent and censor the research or to allow unlimited distribution without careful review by an independent group, such as the NSABB.

Ann Intern Med. 2012;156:463-465.

www.annals.org

For author affiliation, see end of text.

This article was published at www.annals.org on 27 January 2012.



Factors associated with patient and health care system delay in the diagnosis of tuberculosis in France

P. Tattevin,* D. Che,† P. Fraisse,‡ C. Gatey,§ C. Guichard,¶ D. Antoine,† M. C. Paty,¶ E. Bouvet§



Résultats (1)



MINISTÈRE DE LA SANTÉ DE LA JEUNESSE ET DES SPORTS

Caractéristiques des 225 patients inclus

- 136 hommes, 89 femmes
- Nés en France 45%, à l'étranger 42%
- Age moyen 45,5 ans

Moyenne délai diagnostique 97 j, médiane 68 j [33-111]

- Délai patient idem délai soignant (moyenne 47 et 48 j)
- o Plutôt moins bien qu'ailleurs (revue 2008 : moyenne 72 +/- 28 j)
- Délai inversement corrélé à niveau d'endémie



Résultats (2)



MINISTÈRE DE LA SANTI DE LA JEUNESSE ET DES SPORTS

Principaux déterminants du délai diagnostique total

- 1. Couverture sociale (OR 0,243 [0,079-0,748])
- → risque délai total > 60 j divisé par 4
- **2. Nombre de recours** (OR **2,291** [1,409-3,726])



Suivi médecin traitant (OR 0,216 [0,077-0,608])

→ risque délai patient > 14 j divisé par 5

Principaux déterminants du délai soignants

- 1. Premier recours à l'hôpital (OR 0,153 [0,066-0,354])
- ⇒ risque délai soignant > 14 j divisé par 7
- 2. Antibiothérapie empirique (OR 4,371 [1,809-10,564]) sans différence selon classe antibiotique



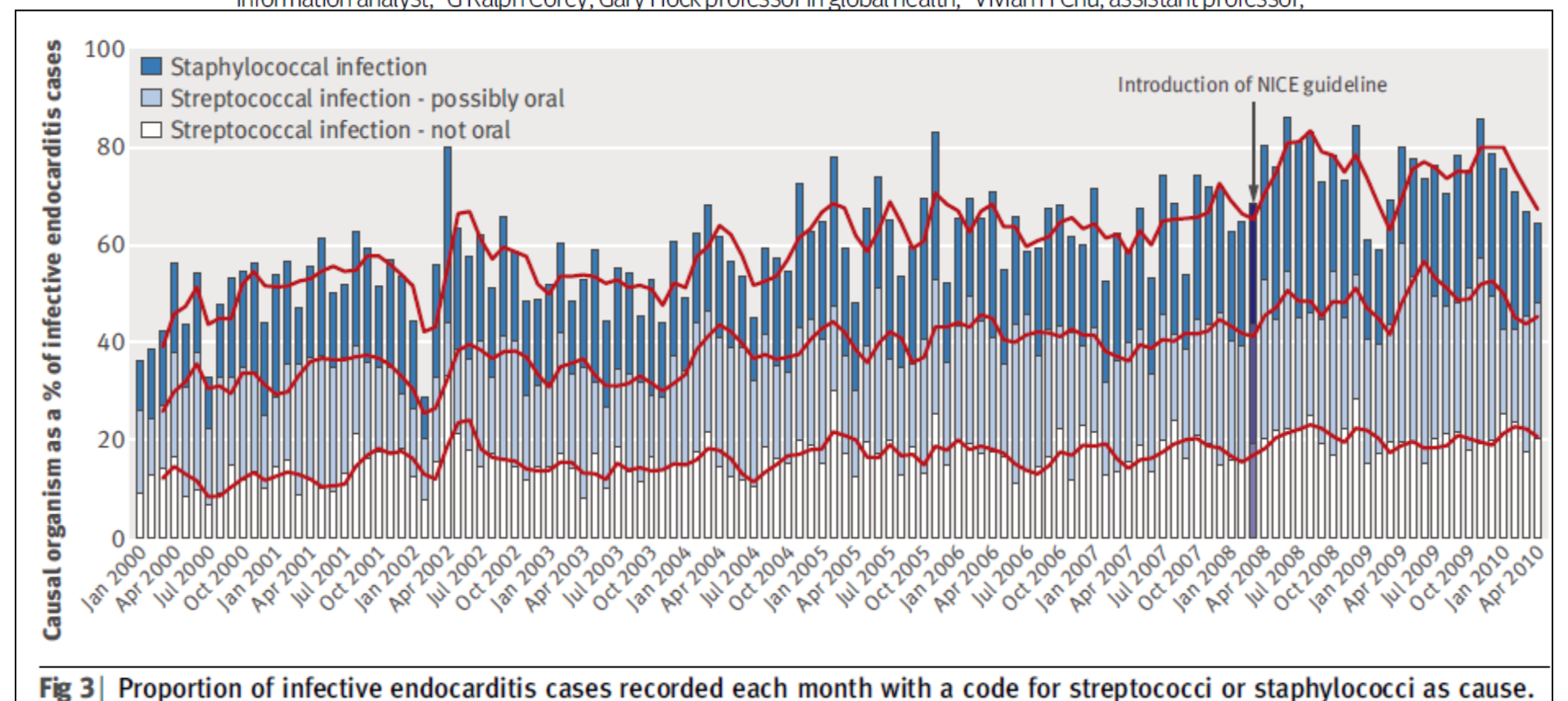
Table 4 Variables associated with total diagnostic delay, patient delay and health system delay, multivariate analysis

Diagnostic delay	OR (95%CI)	<i>P</i> value
Total delay > 60 days Medical insurance Previously treated for tuberculosis Number of health care contacts	0.24 (0.08–0.75) 0.28 (0.08–1.00) 2.29 (1.41–3.73)	0.014 0.049 0.001
Patient delay > 14 days Fever at symptom onset Being followed by a general practitioner	0.42 (0.19–0.92) 0.22 (0.08–0.61)	0.03 0.004
Health system delay > 14 days First health care contact in hospital Antibiotic treatment Medical insurance Asthenia at first health care contact	0.15 (0.07–0.35) 4.37 (1.81–10.56) 2.59 (1.08–6.21) 2.57 (1.01–6.56)	<0.001 0.001 0.034 0.048

RESEARCH

Impact of the NICE guideline recommending cessation of antibiotic prophylaxis for prevention of infective endocarditis: before and after study

Martin H Thornhill, professor of oral medicine, Mark J Dayer, consultant cardiologist, Jamie M Forde, information analyst, ³ G Ralph Corey, Gary Hock professor in global health, ⁴ Vivian H Chu, assistant professor, ⁴



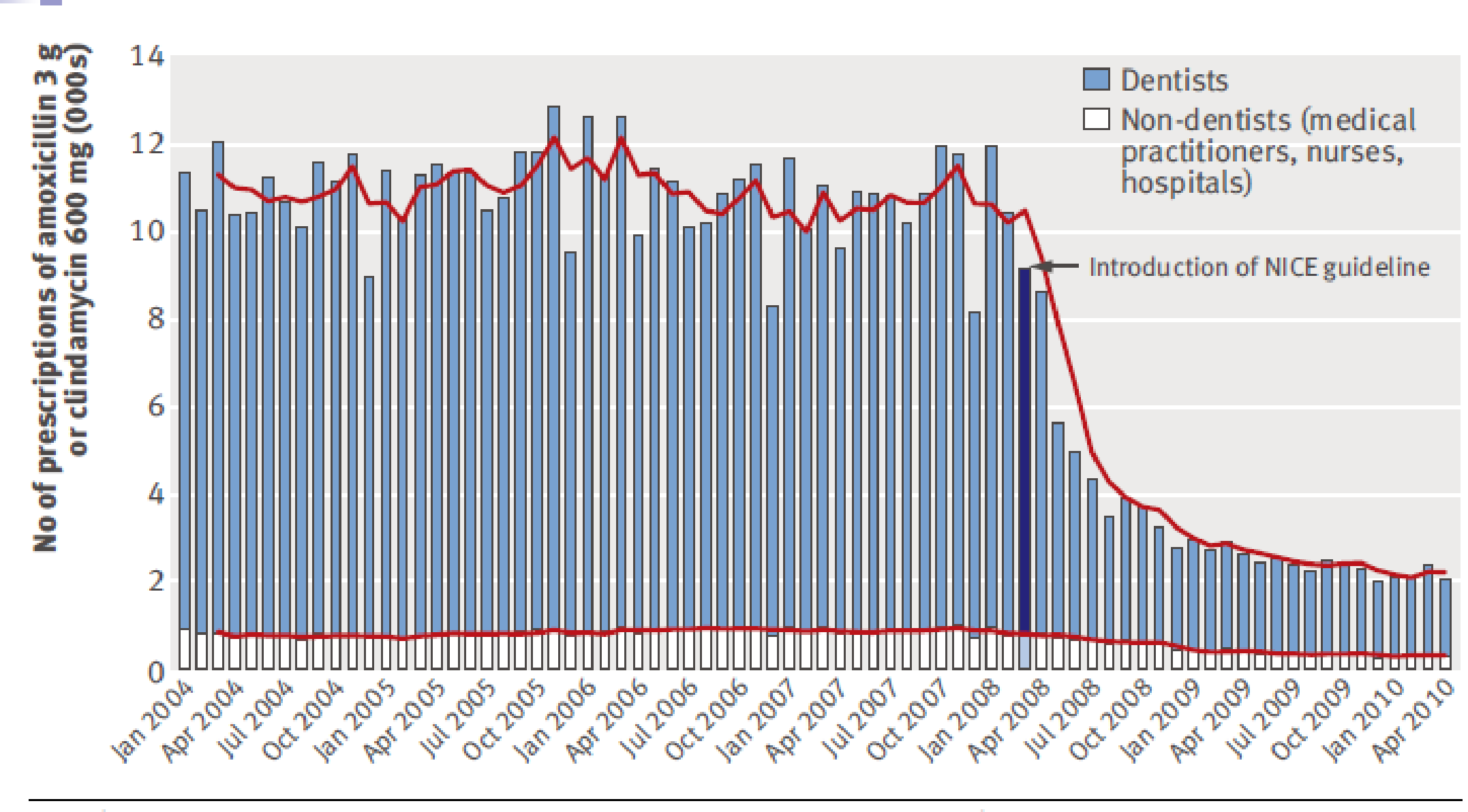
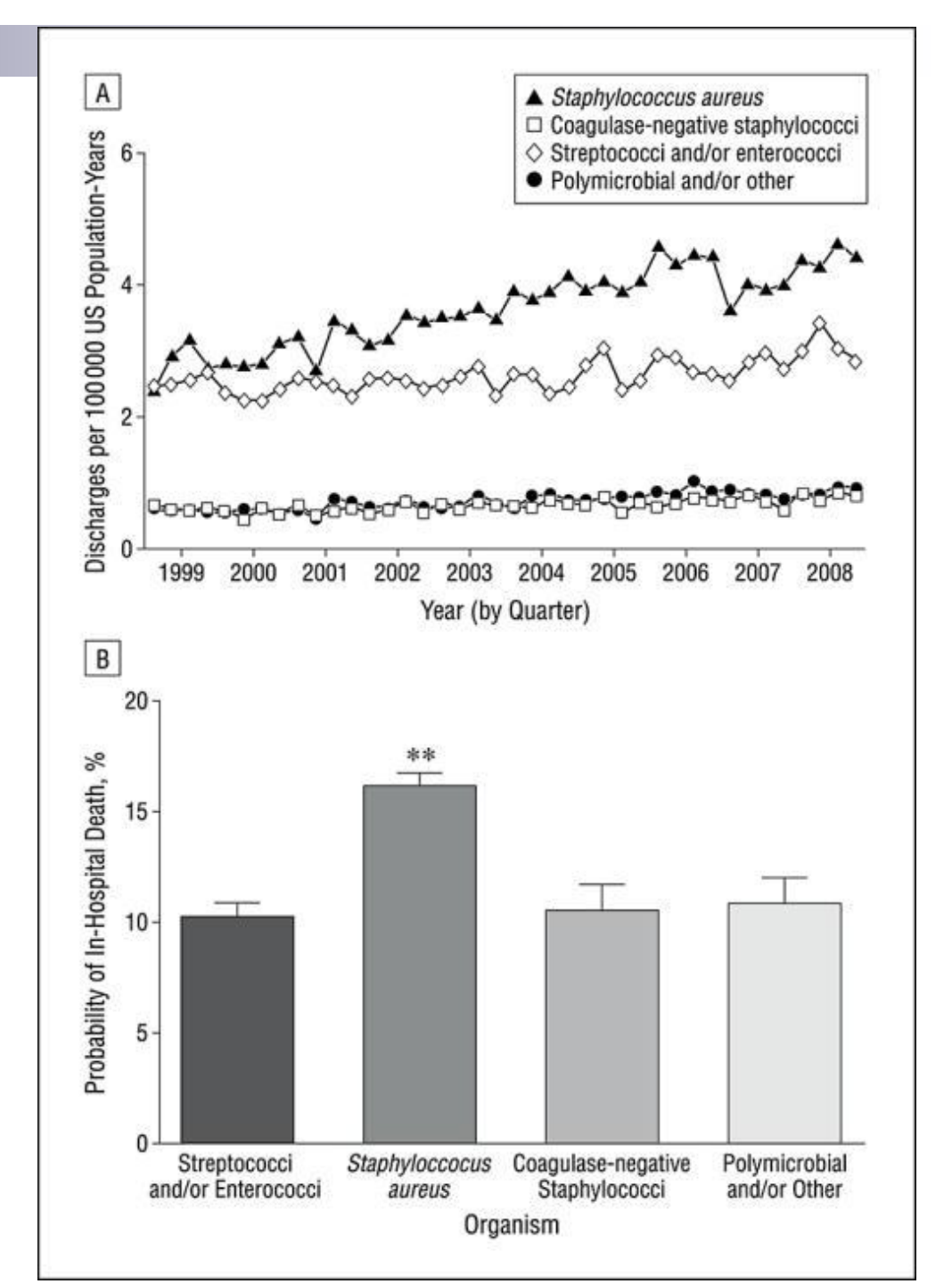


Fig 1 Total number of prescriptions for antibiotic prophylaxis (amoxicillin 3 g or clindamycin 600 mg) dispensed each month by type of prescriber. Red lines represent moving average

Emergence des endocardites à Staphylococcus aureus aux USA

Archives of Internal Medicine 2012

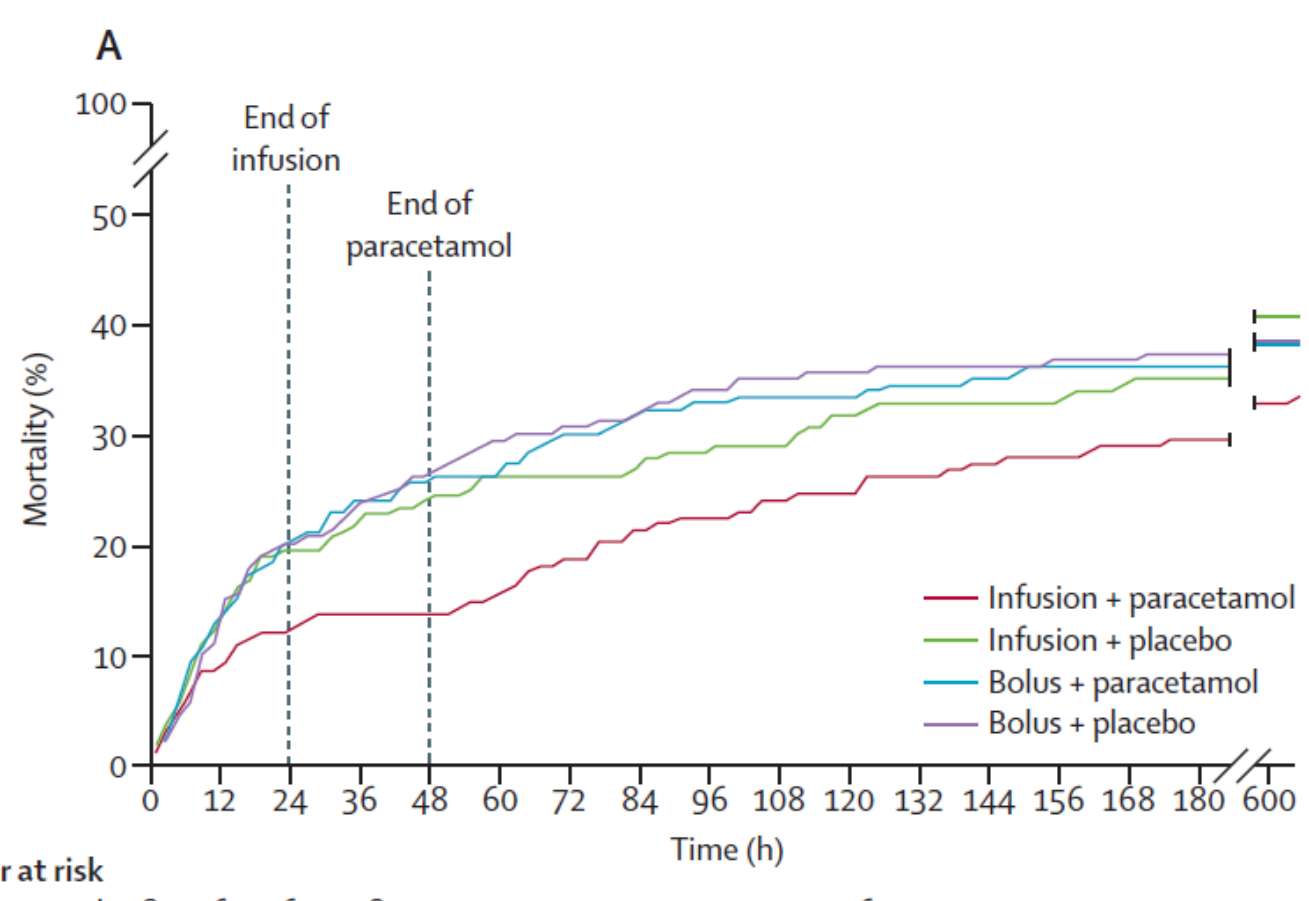


Slow initial β-lactam infusion and oral paracetamol to treat childhood bacterial meningitis: a randomised, controlled trial



Lancet Infect Dis 2011; 11: 613–21

Tuula Pelkonen, Irmeli Roine, Manuel Leite Cruzeiro



Number at risk

Infusion + paracetamol 183 167 160 158 157 154 147 142 140 137 136 133 130 129 124 123 13 Infusion + placebo 180 156 145 140 137 133 132 130 128 127 122 120 120 110 116 115 7 Bolus + paracetamol 180 157 143 137 133 132 126 123 121 120 120 118 114 112 110 110 7 Bolus + placebo 180 157 144 138 133 127 125 123 119 117 116 115 115 114 110 109 3 All 723 637 592 573 560 546 530 518 508 501 494 486 479 474 460 457 30

News

Campylobacter jejuni Infections Associated With Sheep Castration in Wyoming, 2011

(MMWR 60:1654, 2011)—On 29 June 2011, the Wyoming Department of Health was notified of 2 laboratory-confirmed cases of Campylobacter jejuni enteritis among persons working at a local sheep ranch. During June, 2 men had reported onset of symptoms compatible with campylobacteriosis. Both patients recovered without sequelae. During June, both patients had participated in a multiday event to castrate and dock tails of 1600 lambs. Both men reported having used their teeth to castrate some of the lambs. Among the 12 persons who participated in the event, the patients are the only 2 known to

have used their teeth to castrate lambs.

Merci de votre attention!

